

Vysoká škola: **strojní a textilní**
v Liberci

Fakulta: **strojní**

Katedra: **textilních strojů**

Školní rok: **1973/74**

DIPLOMOVÝ ÚKOL

pro

NGUYEN KIM QUY

obor **23-34-8 Výrobní stroje a zařízení - textilní stroje**

Protože jste splnil... požadavky učebního plánu; zadává Vám vedoucí katedry ve smyslu směrnic ministerstva školství o státních závěrečných zkouškách tento diplomový úkol:

Název tématu: **Dávkovač útku na bezčlunkovém stavu**

Pokyny pro vypracování:

Navrhnete konstrukci dávkovače a vyrovnaváče útku pro bezčlunkový skřipcový stav typu Nopas-OK v jednobarevném provedení.

Dávkovač bude konstruován pro tyto parametry :

Pracovní šířka stroje 1,65 až 3,3 m

Otačky stroje 200 - 300 ot./min.

Rychlosť zanášení útku $18 \text{ až } 25 \text{ m} \cdot s^{-1}$

Metrická čísla útku podle disposic VÚTS Liberec a Textilana, Liberec - Františkov.

Autorécké práve se řidi směrnicemi MŠK pro státní
závěrečné zkoušky č. j. 31 727/62-III/2 ze dne
13. července 1962, včetně MŠK XII., sešit 24 ze dne
31. 8. 1962 § 19 autorécké zkoušky č 115/53

VYSOKÁ ŠKOLA STROJNÍ A TEXTILNÍ
Občední knihovna
LIBEREC I - STUDENTSKÁ 8

S
V 106/1974

Rozsah grafických laboratorních prací: 3 výkresy sestavy zařízení

Rozsah průvodní zprávy: 5 stran

Seznam odborné literatury:

Sklipcové stavy v provozu :

Typ Novostav - v dílenských laboratořích KTP - VŠST

Typ Sulzer - bez dávkovačů - Textilana, Liberec, Jablonecká ulice

Typ Sulzer - s dávkovači - Textilana, Liberec - Františkov

Vedoucí diplomové práce: Ing. Jiří Libánský, VÚTS, Liberec

Konsultanti: Ing. Zdeněk Rambousek, VÚTS, Liberec

Datum zahájení diplomové práce: 15.10.1973

Datum odevzdání diplomové práce: 31.5.1974



Charvát
Doc. Ing. Baroslav Charvát, CSc

Vedoucí katedry

Krejčíř
Doc. Ing. Oldřich Krejčíř, CSc

Děkan

VŠST Liberec

Fakulta strojní

Dávkovač útků

Katedra

KTS

DP

strana 1

**VYSOKÁ ŠKOLA STROJNÍ A TEXTILNÍ
V LIBERCI**

Fakulta : strojní

Ročník : V.

Specializace : stavba výrobních strojů a zařízení,
textilní stroje

Autor diplomové práce : NGUYEN KIM QUY

Vedoucí diplomové práce : Ing Jiří Libenský, VÚTS, Liberec

Konsultant : Ing Zdeněk Bambousek, VÚTS, Liberec

Počet stran rukopisu : 61

Počet obrázků : 19

Počet tabulek : 6

Počet příloh : 6

| | | | |
|------------------------|----------------------|---------|-------|
| VŠST Liberec | Dávkovač útku | Katedra | KTS |
| Fakulta strojní | | DP | str.2 |

D I P L O M O V Ý Ú K O L

Název tématu : Dávkovač útku na bezčlunkovém stavu

Pokyny pro vypracování :

Navrhněte konstrukci dávkovače a vyrovnaváče útku pro bezčlunkový skřipcový stav typu Nopas-OK v jednobarevném provedení.

Dávkovač bude konstruován pro tyto parametry :

| | |
|------------------------|--------------------|
| Pracovní šířka stroje | 1,65 až 3,3 m |
| Otáčky stroje | 200 - 300 ot./min. |
| Rychlosť zanášení útku | 18 až 25 m./s |

Metrická čísla útku podle disposic VÚTS Liberec a Textilana, Liberec - Františkov.

P R O H L Á Š E N í

Místopřísežně prohlašuji, že jsem diplomovou práci vypracoval samostatně s použitím uvedené literatury.



15. 5. 1974

O B S A H

I. ÚVOD

II. POPIS POUŽÍVANÝCH TYPŮ DÁVKOVÁČE ÚTKU

1. Regulace dodávky tahem útku při prohozu.
2. Regulace dodávky fotobuňkou.
3. Komorové dávkovače.

III. POPIS NAVRHovanéHO DÁVKOVÁČE

IV. POPIS ČINNOSTI PÁKY ZPĚTNÉHO STAHU

V. CELKOVÉ USPOŘÁDÁNÍ DÁVKOVÁČE A PÁKY ZPĚTNÉHO STAHU

VI. KONSTRUKCE DÁVKOVÁČE

1. Průměr a délka bubnu.
2. Navíjecí kotouč.
3. Hřídel dávkovače.
4. Čidlo útkové zarážky.
5. Klapka.
6. Kroužek.

VII. OVLÁDANÍ PÁKY ZPĚTNÉHO STAHU

1. Konstrukce vačky.

1.1 Odvození rychlostní a zdvihové závislosti
vačky při zvoleném průběhu zrychlení.

1.2 Výpočet polárních souřadnic dráhy středu kladičky.

2. Poznámka při konstrukci vahadla.

VIII. POHON DÁVKOVÁČE.

IX. VYHODNOCENÍ DÁVKOVÁČE ÚTKU A PÁKY ZPĚTNÉHO STAHU
Z EKONOMICKÉHO HLEDISKA

X. ZÁVĚR

I. Ú V O D

Zavedení bezčlunkových tkalcovských stavů bylo velkým přínosem pro rozvoj textilního průmyslu. Třeba například skřipcový stav firmy Sulzer (Švýcarsko), který představuje špičku v současné době.

Základní způsob tvorby tkaniny je na člunkových i bezčlunkových strojích stejný. Hlavní rozdíl je však v tom, že u bezčlunkového stavu je útek odebírána z nehybné křížové cívky, uložené mimo osnovu a do tkaniny je zanášen skřipcem, jehlou popřípadě proudem kapaliny nebo vzduchu. Odběr útkové příze z křížové cívky není plynulý. Příze se musí rozvíhat z klidu na prohozní rychlosť. V útku tím vznikají špičky napětí, což může mít za následek přetržení příze nebo její vysmeknutí ze skřipce. To je dost velká nevýhoda. Naštěstí ji lze odstranit přídavným zařízením, zvaným dávkovač útku. Dávkovač předem připraví potřebnou délku útkové příze. Tato příprava může trvat prakticky po celou dobu pracovního cyklu tkalcovského stavu, tedy delší dobu, než je trvání prohozu. Tím odstraníme nepříznivé kolísání napětí v útku a snížíme počet přetrhu.

Další úkol, který je dobré vyřešit je otázka zmenšení odpadu útku. Skřipec protáhne útkovou přízi o určitou délku

| | | | |
|-----------------|---------------|---------|--------|
| VŠST Liberec | | Katedra | KTS |
| Fakulta strojní | Dávkovač útku | DP | str. 6 |

až za kraj tkaniny. Tuto délku nám pomůže zmenšit tzv.
páka zpětného stahu.

Úkolem této práce je návrh dávkovače útku a páky
zpětného stahu.

Oba úkoly jsem se snažil řešit zodpovědně. Jazykové
potíže a málo technických zkušeností a znalostí zavinile,
že se v této práci vyskytuje pravděpodobně řada chyb.

II. Popis používaných typů dávkovačů útku

V současné době se pro tkalcovské bezčlunkové stavy používají následující typy dávkovačů :

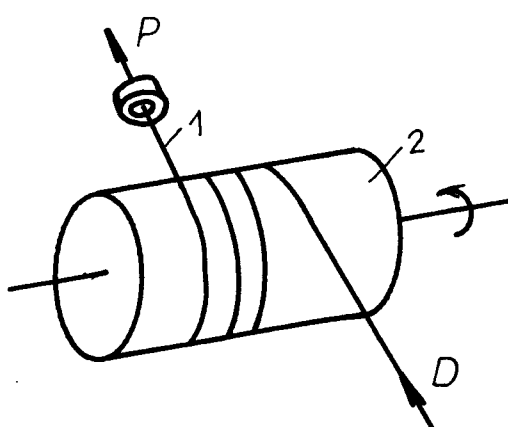
II. 1/ Regulace dodávky tahem útku při prohozu

a/ Nejjednodušší provedení dávkovače je na obrázku 1.

Válcový nebo mírně kuželový buben 2 se otáčí stálou rychlostí. Není-li v útku 1 na straně prohozu P napětí, útek na hladkém povrchu bubnu prokluzuje. Při začátku prohozu je v útku napětí P , které podle Eulerova vztahu $D = P \cdot e^{\frac{2\pi}{f}}$ vyvodí třecí sílu T

$$T = D - P = P / e^{\frac{2\pi}{f} - 1}.$$

Tento dávkovač dodá tolik útků, kolik je odebráno pro prohoz.



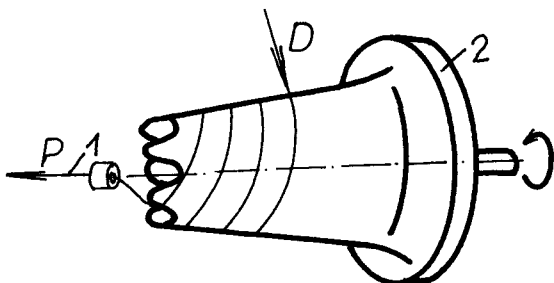
obr 1

b/ Jehlové stavy Draper používají dávkovač podle obrázku 2. Buben 2 rotuje stálou rychlostí a je kuželovitý, aby se závity útku 1 přesunovaly k jeho vrcholu.

Je-li na straně P odebírána útek, zachytí jeden

ze čtyř ozubů útek posledního závitu a dávkovač odtahuje materiál z křížové cívky.

Není-li po skončení prohozu v místě P tah v útku, poslední závit na bubnu se uvolní z drážky a buben pod útkem prokluzuje.



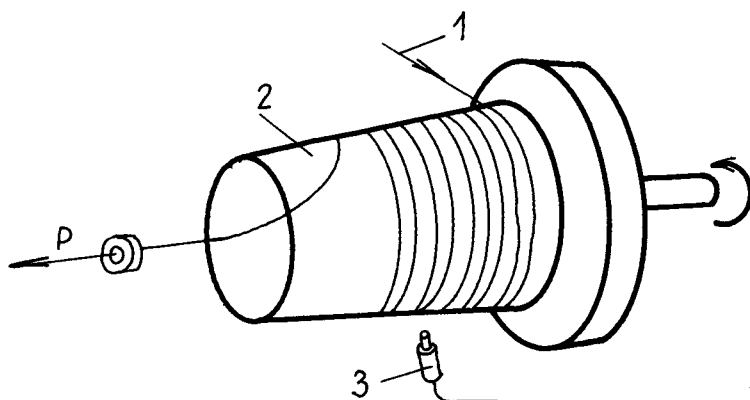
obr. 2

II. 2/ Regulace dodávky fotobuňkou

Dávkovač SAVI /Itálie/

Buben 2 dávkovače podle obrázku 3 je mírně kuželový, aby se návin útku 1, přiváděný stále do jednoho místa posunoval axiálním směrem. Množství zásoby útku je kontrolováno fotobuňkou 3. Zakryje-li návin útku reflexní povrch bubnu, fotobuňka vypne elektromotorek pohonu bubnu. Tvoření balonu při stahování útku z bubnu při prohozu zabranuje nezakreslený prstenec nad výstupní částí bubnu.

Celková zásoba útku tohoto dávkovače je vždy větší, než je spotřeba pro jeden prohoz. Zanašeč stáhne z bubnu potřebnou délku.

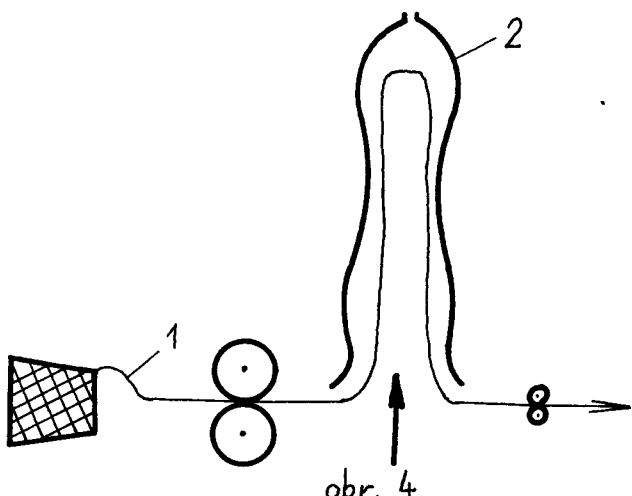


obr. 3

II. 3/ Komorové dávkovače

Z patentové literatury je známo několik návrhů.

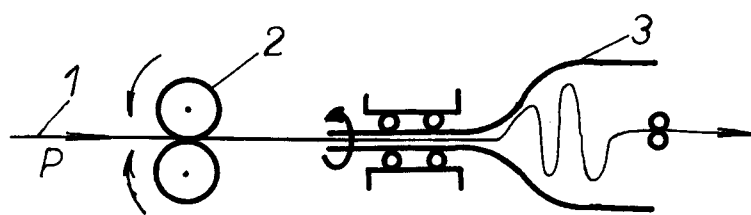
a/ Příklad používaného dávkovače tohoto typu je nakreslen na obrázku 4. Do tvarové trubky 2 foukáme přízi proudem vzduchu. Příze je v trubce jako zásoba útku pro prohoz.



obr. 4

b/ Podle čs. patentu č. 82938 je navrhována rotační komora 3 podle obrázku 5. Útek 1 je rotujícími válečky 2 dopraven do komory 3, kde se ukládá působením odstředivé síly.

Délku útku je možné s určitou přesností regulovalat válečky 2 a brzdičkou na výstupu.



Obr. 5

III. Popis funkce navrhovaného dávkovače

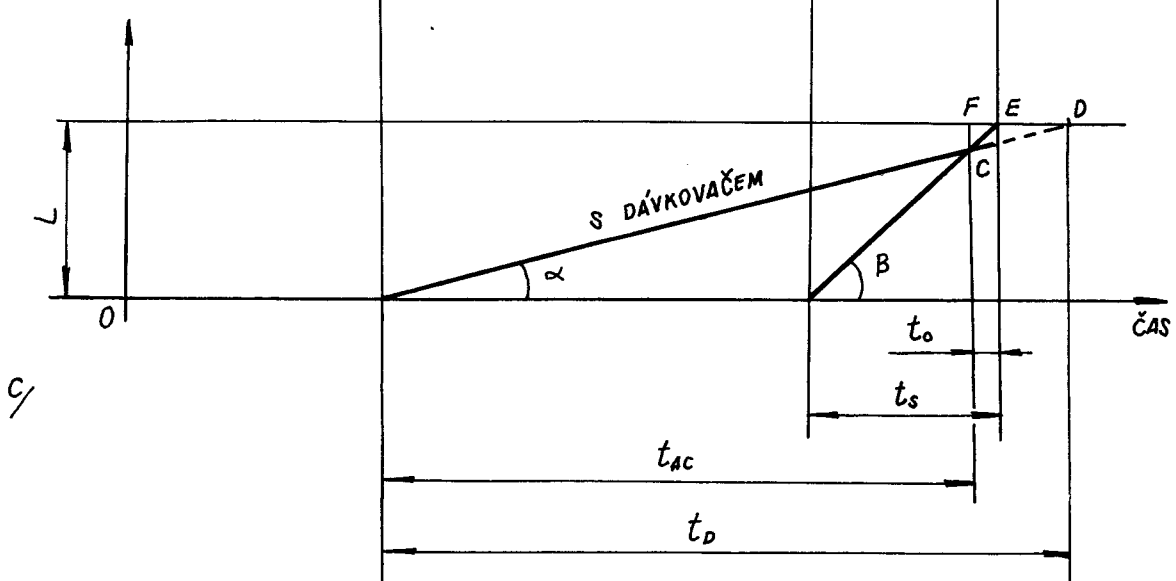
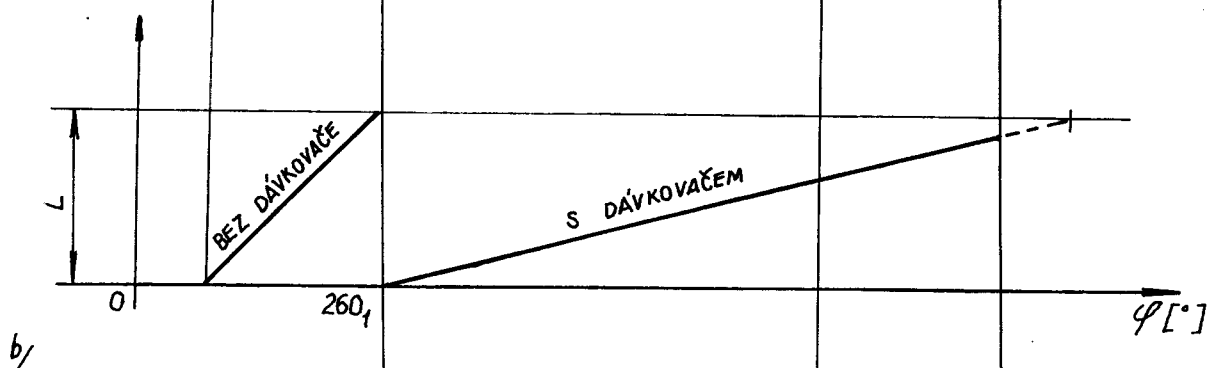
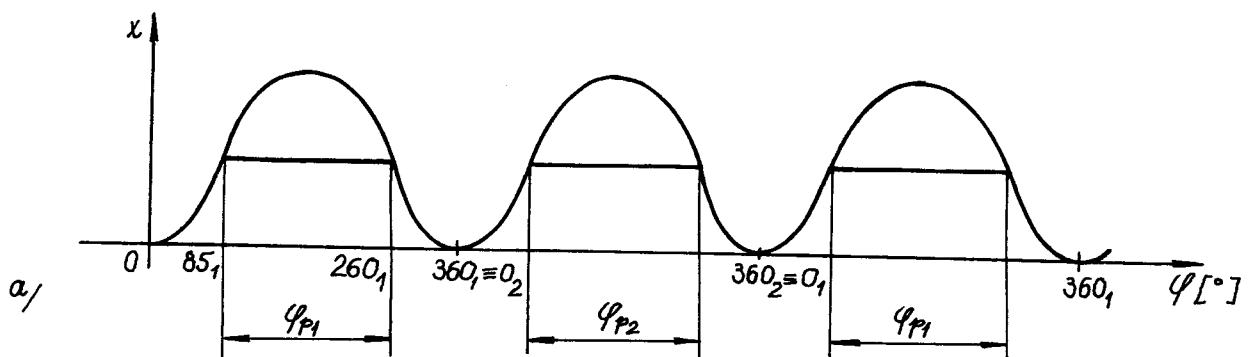
Funkce dávkovače útku popsaného v této práci vysvětlíme na následujících obrázcích.

Na obrazze 6a/ je závislost dráhy x bidla na úhlu pootočení klikového hřídele φ° . Konkrétní hodnoty úhlů platí pro stroj skřipcového stavu Nopas-OK 4. Kde ještě označí:

φ_{p_1} ... prohozní interval zleva doprava.

φ_{p_2} ... prohozní interval zprava doleva.

Na obrazze 6b/ je znázorněna závislost délky potřebného odvinutého útku L na úhlu pootočení kliky. Protože úhlová rychlosť otáčení klikového hřídele je konstantní, lze hovořit místo úhlu o čase. Odtahování příze při prohozu na stroji bez dávkovače je v levé části obrázku. Doba odvíjení útku při prohozu /např. zleva doprava/ je mezi úhly 85° a 260° . Za tuto dobu je třeba odvinout délku útku L . Pracuje-li stroj s dávkovačem, nezastaví se po skončení prohozu odtah příze z cívky. Ta se dál navíjí na buben dávkovače. Toto navíjení trvá od skončení prohozu prakticky až do skončení příštího prohozu, tedy celý pracovní cyklus. Tato doba je přibližně 4krát delší než v případě bez dávkovače. Příze je tím méně namáhána na tah a nemůže v úseku mezi cívkou a brzdičkou tvořit smyčky. Kdyby se na buben dávkovače navíjela celá potřebná délka L útku, mohlo by se při nepřesném seřízení stát, že by se příze na bubnu hromadila. Po určité době by se buben přízí přeplnil a byla by znemožněna další funkce dávkovače.



obraz 6(a, b, c)

Proto je třeba zkonstruovat dávkovač tak, aby pro navinuté délky útku L na bubnu byla potřeba delší doba, než je trvání pracovního cyklu stavu. Tím zajistíme, že část příze si skřipec musí odvinout přímo z cívky. Názorně je to vidět na obrázku 6c/. V něm značí:

t_D ... doba, kterou potřebuje dávkovač k odtažení příze délky L z cívky.

t_S ... doba, kterou potřebuje skřipec k proběhnutí prošlupem.

t_{AC} ... doba navíjení příze na buben dávkovače.

t_0 ... doba, po kterou je příze odtahována skřipcem přímo z cívky.

\overline{CF} ... délka příze odtažená skřipcem z cívky.

$tg \alpha$... odpovídá rychlosti navíjení příze na buben dávkovače.

$tg \beta$... odpovídá rychlosti skřipce s rychlosťí příze při dotahování.

Velikost \overline{CF} je třeba vhodně zvolit. Bod C udává místo a čas, kdy začne odtahování příze skřipcem a kdy je vyřazen z funkce dávkovače.

Funkce dávkovače je v našem případě spojena i s funkcí dalšího zařízení. Jeho popis je v další kapitole.

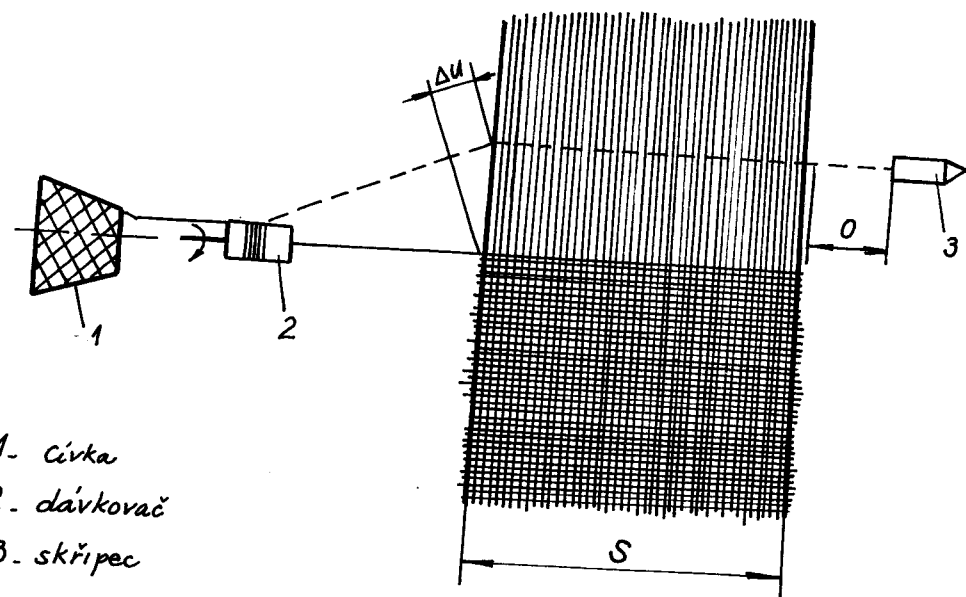
IV. Popis činnosti páky zpětného stahu

Příze se zavede z dávkovače do skřipce. Skřipec se vystřelí prošlupem na druhou stranu tkaniny. Tam je zabrzděn. Protože však z konstrukčního důvodu můžeme skřipec brzdit až po vyběhnutí z prošlupu, proběhne v době brzdění ještě určitou dráhu. Po zastavení skřipce se příze ze skřipce uvolňuje. Tím by však vznikaly zbytečné ztráty útku odpadem. Vznikla by ale také další nevýhoda, že volné konce útku by se mohly zatkat do kraje tkaniny. To by značně zhoršilo její kvalitu.

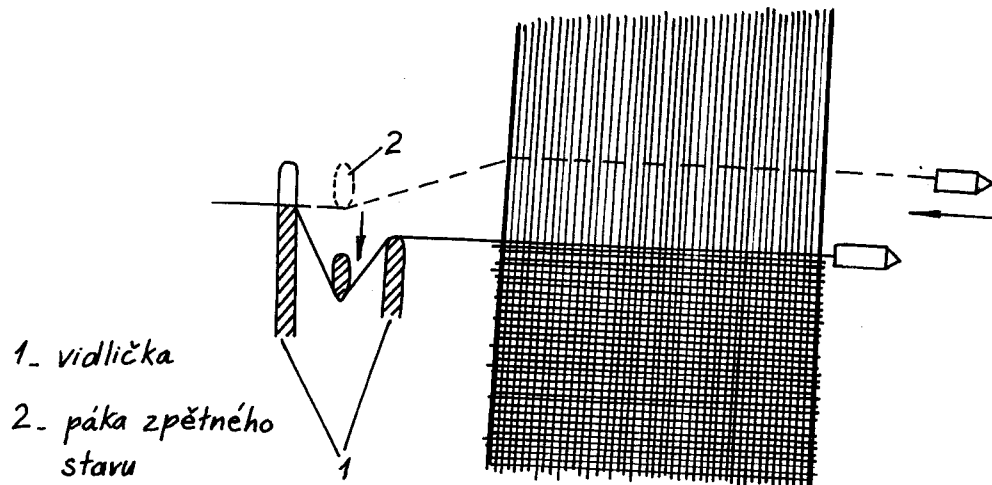
Útek je po protažení prošlupem přiražen bidlem ke tkanině. Z obrázku 7 je vidět, že se tím uvolní část útku o délce ΔU .

Další část útkové příze je nutno uvolnit při otočení skřipce před novým vystřelením do prošlupu. Uvolněný útek je však možným zdrojem tvoření smyček na přízi a tím může dojít snadno k přetržení útku.

Všechny výše uvedené nedostatky může odstranit vhodná konstrukce tzv. páky zpětného stahu. Její schematické znázornění je na obrázku 8. Příze prochází vidličkou 1 a je prohýbaná pákou zpětného stahu 2. Odpad útku se zmenší a nebezpečí zatkání zbytků do kraje tkaniny se odstraní tím, že po dobrzdění skřipce vykývne páka zpětného stahu a tím kompenzuje délku O , vzniklou vrácením skřipce ke tkanině. Pak teprve dojde k uvolnění příze od skřipce. Uvolnění



Obr. 7



Obr. 8

příze o délku U po přirážení bidlem se kompenzuje dálším vykývnutím páky zpětného stahu.

Výkyvy páky a funkce dávkovače musí být synchronizovány.

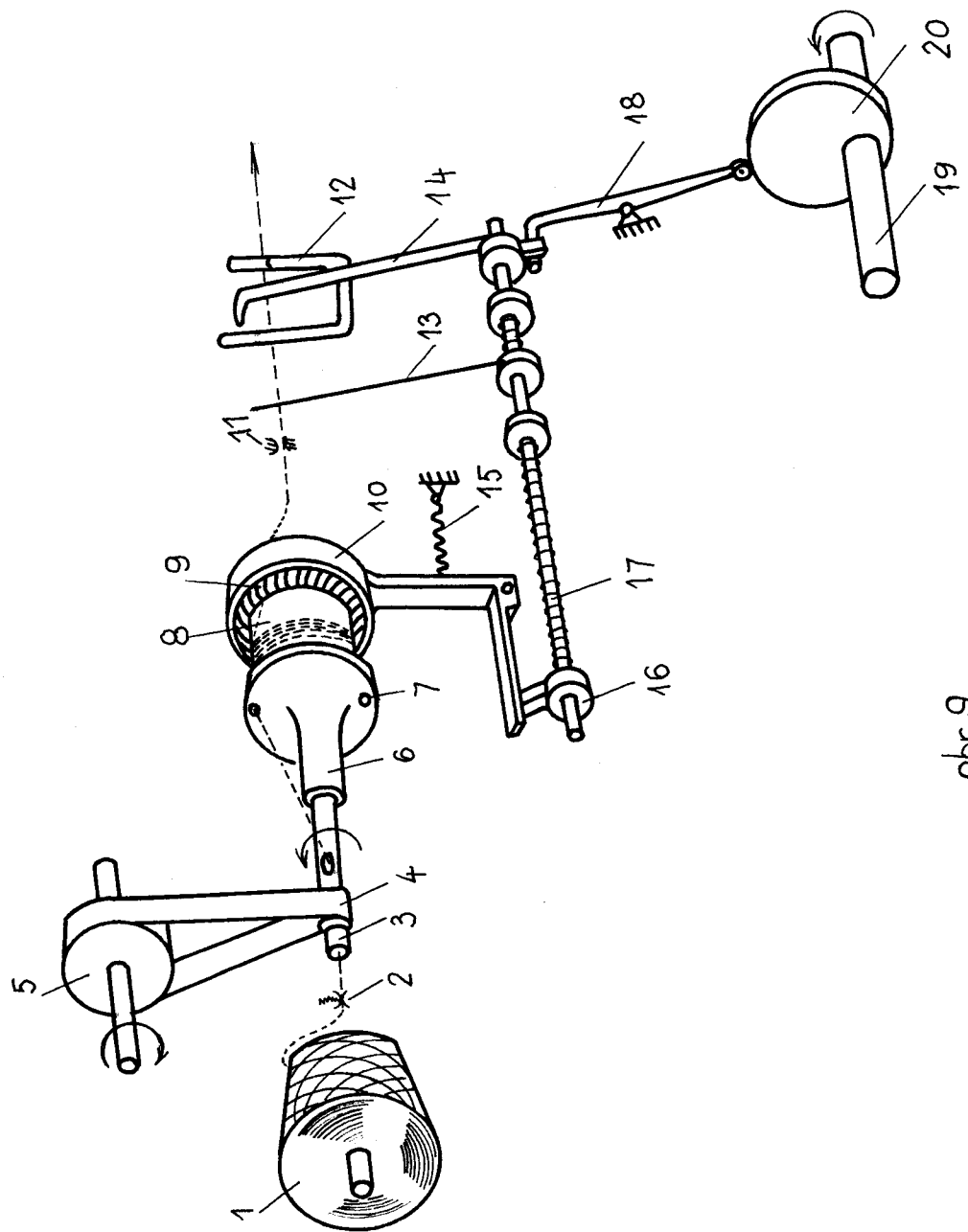
V. Celkové uspořádání dávkovače a páky

zpětného stahu

Schematické znázornění dávkovače útku s pákou zpětného stahu je na obrázku 9.

Hřídel dávkovače 3 je poháněn řemenovým převodem z hřídele kompresního válce pro levý dávkovač a z hlavního hřídele pro dávkovač na pravé straně proto, aby nedocházelo k rozkrucování příze při odvíjení z cívky. Příze odvíjená z cívky 1 prochází brzdičkou 2 a otvorem v ose hřídele dávkovače a je vyvedena otvorem na kotouč 6, pevně spojený s hřídelem. Příze zde prochází očkem 7 a je navíjena na stojící buben 8. Vystupující konec příze je k bubnu přitlačován kroužkem 9 z umělé hmoty, volně uložený v klapce 10. Klapka je ovládána zvedátkem 16, umístěným na společném hřídeli 17 s pákou zpětného stahu 14. Je-li páka v činnosti, to znamená posouvá-li zpět skřipec nebo kompenzuje uvolnění útku /viz kapitola IV./, je kroužek přitlačován klapkou pomocí pružiny 15 k bubnu a tím nedovoluje odtah příze z bubnu. To umožňuje navíjení příze

CELKOVÝ MECHANISMUS DÁVKOVÁČE S PÁKOU ZPĚTNÉHO STÁHNU



obr. 9

na buben dávkovače. Když se však před průhozem vrátí páka do horní polohy, odtlačí zvedátko klapku proti pružině a skřipec může z dávkovače odtahat útek. Po zabrzdění skřipce začne plnit svoji funkci páka zpětného stahu, zvedátko uvolní klapku a pružina ji přitlačí k bubnu. Páka zpětného stahu je ovládána váčkou pomocí vahadla. Váčka je uložena na hlavním hřídeli stavu.

Aby se přerušila činnost stroje při přetržení útku, je mezi vidličkou 12 a očkem 11 umístěno čidlo 13 útkové zarážky. Ta je uspořádána otočně na hřídeli 17 a směrem k útku je unášena třecí spojkou. Při přetržení příze se čidlo sklopí a sepne elektrický řídící okruh, který zastaví stroj.

VI. Konstrukce dávkovače

Při konstrukci vycházíme z požadavků, aby dávkovač plnil co nejlépe svoji funkci a byl jednoduchý z hlediska výroby a montáže.

VI. 1/ Průměr a délka bubnu:

Při návrhu bubnu jsme vycházeli z těchto dvou hlavních parametrů:

- a/ pracovní šíře stavu
- b/ metrická čísla útku.

Stroj bude pracovat v těchto hlavních šířkách:

165 cm

185 cm

230 cm

a 330 cm.

Podle dispozic VÚTS Liberec a n. p. Textilana Liberec - Františkov bude používaná útková příze, která má Čm v me- zích 5 až 60.

Byly provedeny zkoušky navíjením různých přízí na buben. Pro zadané šířky byly jako vhodné zvoleny následující rozměry bubnu:

- průměr bubnu = 80 mm
- délka bubnu = 35 mm.

Buben bude vyroben z oceli. Jeho povrch bude vyleštěn, aby kladl přízi minimální odpor. Jsou v něm uložena ložiska hřídele dávkovače. Proti roztočení je zajištěn závažím. Ložiska jsou proti prachu chráněna víčkem z umělé

hmoty.

Buben dávkovače je nakreslen v příloze / 5/.

VI. 2/ Navíjecí kotouč:

Příze procházející očkem toho kotouče je navíjena na buben. Počet otáček kotouče závisí na pracovní šířce stavu. /Výpočet bude proveden ve statí týkající se řemenového převodu./

Kotouč je vyroben z plastické hmoty. Je nalisován přímo na hřídel dávkovače.

Na výkresech je označen pozici 58.

VI. 3/ Hřídel dávkovače:

Je jedna z hlavních částí zařízení. Je vyroben z oceli. Vstupní a výstupní hrany otvoru pro přízi musí být vyleštěny. Hřídel je uložen v kuličkových ložiskách. Na něm je umístě navíjecí kotouč a řemenička.

Na výkresech je označen pozici 30.

VI. 4/ Čidlo útkové zarážky:

Nedílnou součástí tkalcovského stavu jsou kontrolní a zabezpečovací mechanismy, které kontrolují provoz stroje nebo funkci některých mechanismů a při poruše stroj ihned zastaví.

Chybějící část útku je ve tkanině velmi výraznou chybou, která se jen obtížně opravuje. Proto musí být útek stále kontrolován pomocí tzv. útkové zarážky.

| | | | |
|-----------------|---------------|---------|--------|
| VŠST Liberec | Dávkovač útku | Katedra | KTS |
| Fakulta strojní | | DP | str.21 |

Jako čidla útkové zarážky užijeme v našem případě ocelového drátu s průměrem 1 mm. Ten spočívá na napnutém útku. V případě jeho přetržení spadne drát, unášený třecí spojkou a sepne kontakt, který zastaví stroj.

VI. 5/ Klapka:

Použití klapky má dva účely:

- a/ tvoří kryt kolem bubnu a tím chrání přízi navinutou na povrchu bubnu.
- b/ při navíjení blokuje odtah příze z bubnu a uvolňuje ji pro prohoz a zabraňuje tvoření balonu.

Její pohyb je ovládán zvedátkem, uloženým na společném hřídeli s pákou zpětného stahu. Čep, kolem kterého klapka kýve, je uložen na rámu dávkovače.

Na výkresech je označen pozici 9.

VI. 6/ Kroužek:

Je přitlačován klapkou k bubnu a tím k němu pevně přitlačuje přízi při navíjení. Při odtahování útku skřipcem zabezpečuje rovnoměrný odtah.

To jsou hlavní součásti dávkovače útku.

VII. Ovládání páky zpětného stahu

O funkci páky zpětného stahu jsme už více méně ho-
vořili v kapitole IV.

Konstrukční problém v tomto případě spočívá v návrhu
časování pohybu páky a v zajištění synchronizace pohybu
páky a dávkovače útku.

Správné časování zajistí vhodná konstrukce váčky.
Synchronizace pohybů páky zpětného stahu a klapky dávkova-
če bude umožněna uložením páky a zvedátka klapky na spo-
lečném hřídeli /je to vidět v příloze 1/.

Páku vyrobíme z ocelového plechu.

VII. 1/ Konstrukce vačky:

Protože páka koná kyvavý pohyb, rozhodli jsme se
pro její ovládání vačkou a vahadlem. Schematicky je to
znázorněno na obrázku 10. V něm značí:

a ... zvolená délka vahadla

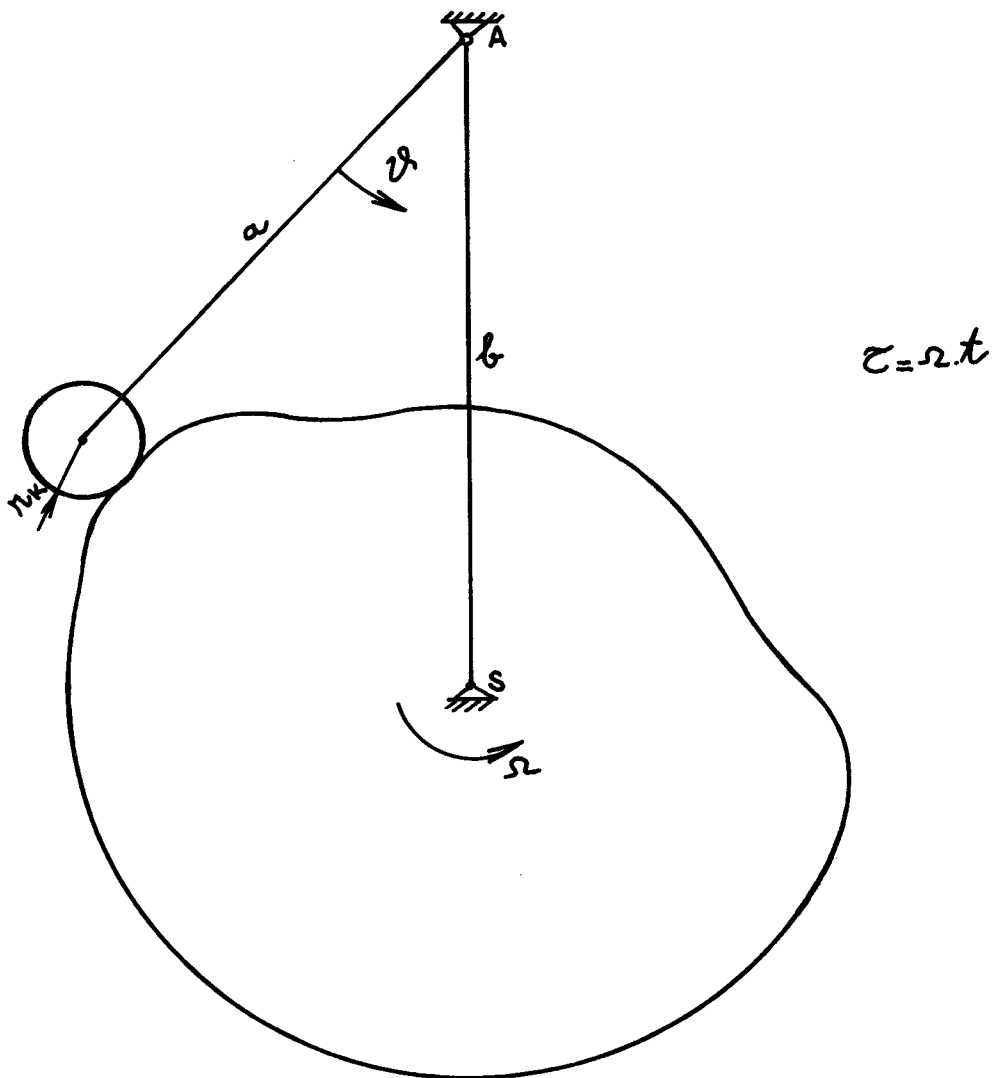
b ... vzdálenost středu otáčení vačky

a vahadla

r_k ... poloměr kladíčky

ϑ ... úhel výkyvu vahadla

ζ ... úhel pootočení vačky.



Obr. 10

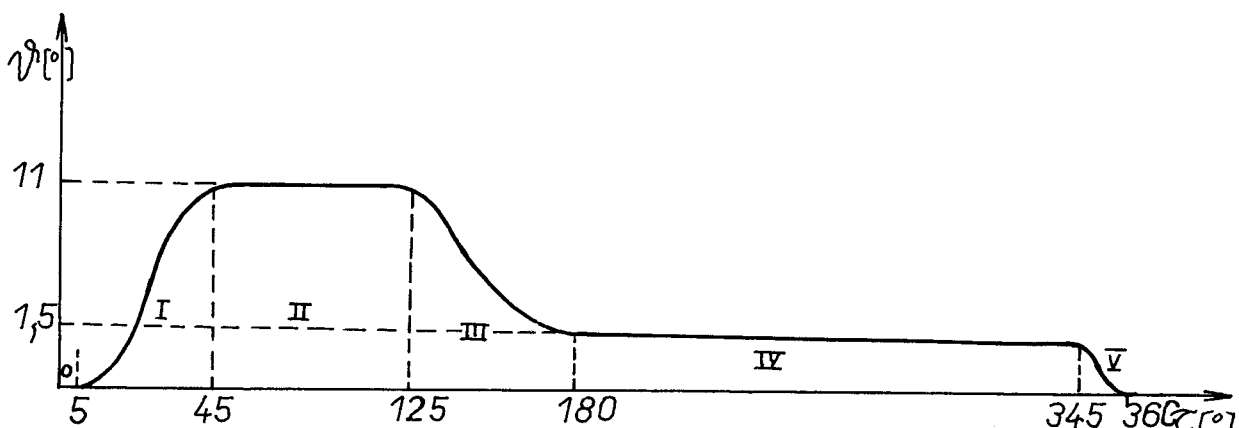
Úhel výkyvu páky zpětného stahu je dán její funkcí.

Výkyv této páky je odvozen pákovým převodem od vačky, uložené na hlavním hřídeli.

Celkové uspořádání je nakresleno v příloze 2.

Z velikost tohoto převodu pak vyplývají odpovídající úhly výkyvu vahadla.

Požadovaná zdvihofláha závislost, znázorněná na obrázku 11, je tedy dána časováním a převodem mezi vahadlem a pákou zpětného stahu.



obr. 11

Nyní popíšeme jednotlivé intervaly označené na zdvihoflátce charakteristice:

V intervalu II probíhá prohoz. Páka zpětného stahu je v horní poloze a zvednutá klapka dávkovače uvolnila odtah útku.

V intervalu III začíná pracovat páka zpětného stahu. Bidlo přirazí útek ke tkanině. Páka musí stáhnout zpět

| | | | |
|-----------------|---------------|---------|--------|
| VŠST Liberec | Dávkovač útku | Katedra | KTS |
| Fakulta strojní | | DP | str.25 |

útek o délku zbytku /0/ a část útku, která se uvolnila vlivem přiražení / ΔU / . Bidlo se pohybuje klesající rychlostí. Tím se také menší rychlostí uvolňuje útek. Na to musíme brát ohled při konstrukci váčky v části, která odpovídá tomu intervalu.

V intervalu IV je výdrž.

V intervalu V dochází k dodatečnému napínání útku, který se může v tomto okamžiku uvolňovat při posuvu okraje tkaniny před paprskem.

Na hranici intervalu V - 0 dochází k navádění útku do skřipce.

V intervalu 0 je výdrž až do úplného navádění útku.

Na hranici intervalu 0 - I se útek mezi skřipcem a tkaninou přestříhne.

V intervalu I se začne páka zpětného stahu rychle vracet do horní polohy a uvolňuje útek při otáčení skřipce. Zvedátko, které je umístěno na společném hřídeli s pákou zpětného stahu, odklopí klapku dávkovače, a tím uvolní odtah příze, protože bude následovat prohoz.

VII. 1.1/ Odvození rychlostní a zdvihofré závislosti vačky při zvoleném průběhu zrychlení

Vycházíme ze zvoleného průběhu zrychlení v intervalech I, III, V. Integrace a zavedením okrajových podmínek, které vyplývají z pákového převodu vahadla, jak bylo řešeno už dříve, získáme rychlostní a zdvihofré závislost.

Pak bychom museli počítat hodnoty rychlostí a zdvihu v mnoha bodech a vynést tuto závislost graficky.

V našem případě jsme s výhodou pro tuto práci využili počítače. Bylo však třeba provést transformaci do bezrozměrného tvaru. Transformace spočívá v posunutí počátku a v přivedení na bezrozměrný tvar.

Obecný transformační vzorec pro převod souřadnic \bar{v} a \bar{z} na souřadnice η a ξ jsou:

$$\eta = \frac{\bar{v} - A}{B} \quad /1/$$

$$\xi = \frac{\bar{z} - C}{D} \quad /2/$$

Hodnoty konstant A, B, C, D určíme pro každý z intervalů I, II, III tak, aby hodnoty $\eta \in \langle -1, 1 \rangle$ a $\xi \in \langle -1, 1 \rangle$.

A nový počátek souřadnic aby ležel ve zvoleném bodě.

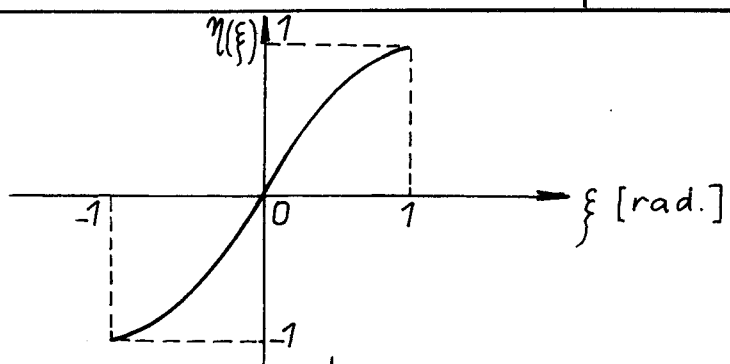
VII. 1.1.1/ Pro interval I:

Z obrázku 11 vyplývá:

$$A_I = \frac{11^\circ + 0^\circ}{2} = 5,5^\circ \quad ; \quad B_I = \frac{11^\circ - 0^\circ}{2} = 5,5^\circ.$$

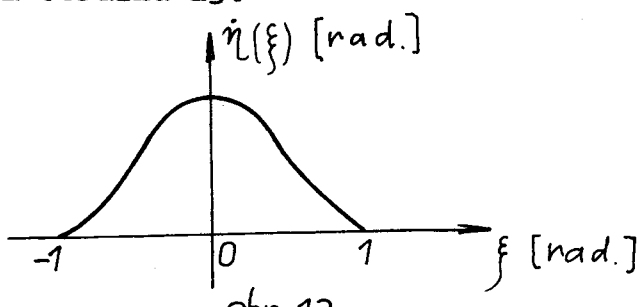
$$C_I = \frac{45^\circ + 5^\circ}{2} = 25^\circ \quad ; \quad D_I = \frac{45^\circ - 5^\circ}{2} = 20^\circ.$$

Potom tvar zdvihofové závislosti v tomto intervalu vypadá jako na obrázku 12:



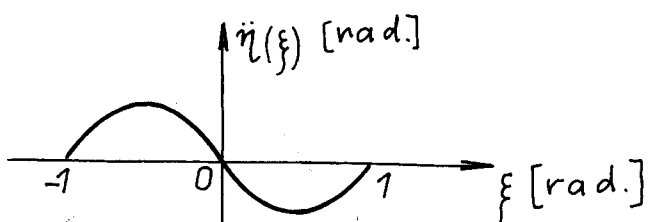
Obr. 12

Odtud již vyplývá průběh rychlosti, znázorněný na následujícím obrázku 13:



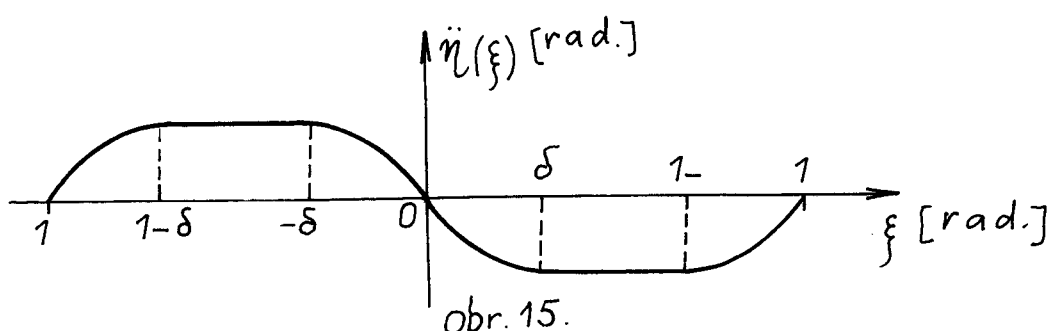
Obr. 13

Zrychlení má pak tento průběh:



Obr. 14

Z hlediska dynamiky je však výhodnější volit průběh zrychlení, nakreslený na obrázku 15. Charakter tohoto průběhu zůstává zachován, takže vyhovuje našemu případu:

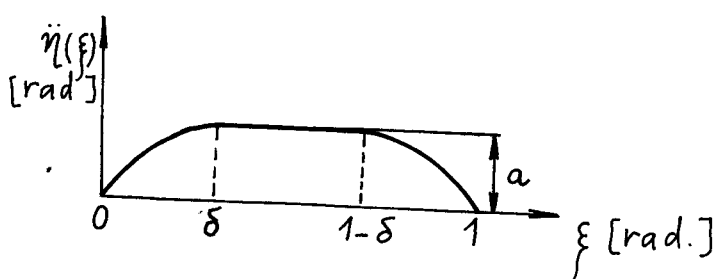


Obr. 15.

Z předchozích určených průběhů nám vyšly tyto okrajové podmínky :

$$\left\{ \frac{d\eta(\xi)}{d\xi} \right\}_{\xi=1} = \left\{ \dot{\eta}(\xi) \right\}_{\xi=1} = 0 \quad (3); \quad \left\{ \eta(\xi) \right\}_{\xi=1} = 1 \quad (4)$$

Nyní provedeme vlastní výpočet pro rychlostní a zdvihofou závislost při takovém zvolení průběhu zrychlení. Protože průběh zrychlení je souměrný podle počátku, stačí pro rozbor tvaru křivky uvažovat jen část, zobrazenou na obrázku 16 :



Obr. 16

Kde $\delta = \frac{1}{3}$ a maximální amplitudu zrychlení a zatím neznáme. Budeme ji hledat pomocí okrajové podmínky.

Poněvadž tvar průběhu zrychlení není stejný v jednotlivých intervalech pro $\xi \in \langle 0, 1 \rangle$, proto musíme provádět tento výpočet zvlášť pro každý úsek.

/Poznámka : Protože odvození některých rovnic je mnoho rozsáhlé, proto jsem úpravu vynechal a uvádím jenom výsledný vztah./

VII. 1. 1. 1a/ Pro $0 \leq \xi \leq \delta$

V tomto úseku jsme tvar průběhu zrychlení zvolili jako parabolický. Proto nejdříve musíme hledat její rovnici. Obecně má rovnice paraboly tento tvar :

$$\ddot{\eta}(\xi) = A\xi^2 + B\xi + C \quad (5)$$

Konstanta C vychází z této podmínky:
při $\xi = 0$, $\ddot{\eta}(\xi)$ má být = 0, proto $C = 0$.

$$\text{Pro } \frac{d}{d\xi} \left\{ \ddot{\eta}(\xi) \right\}_{\xi=0} = 2A\xi + B = \frac{2a}{\delta} \text{ plyně } B = -\frac{2a}{\delta} .$$

Na konec počítáme konstantu A z této rovnice :

$$A\delta^2 + B\delta = a$$

$$\text{Dosazením B do tohoto vztahu máme } A = -\frac{a}{\delta^2} .$$

Parabola má tedy rovnici :

$$\ddot{\eta}(\xi) = -\frac{a}{\delta^2} \xi^2 + \frac{2a}{\delta} \xi \quad (6)$$

Integrováním vzorce /6/ získáme rychlostní závislost :

$$\dot{\eta}(\xi) = -\frac{a}{3\delta^2} \xi^3 + \frac{a}{\delta^2} \xi^2 + C_1 \quad (7)$$

Kde C_1 je integrační konstanta, kterou můžeme najít současně s neznámou hodnotou amplitudy zrychlení a s použitím okrajových podmínek /3/ a /4/.

Další integrací rovnice /7/ dostaneme zdvihovou závislost :

$$\eta(\xi) = -\frac{a}{12\delta^2} \xi^4 + \frac{a}{3\delta} \xi^3 + C_1 \xi + C_2 \quad (8)$$

Z obrázku 12 je to vidět, že při $\xi = 0$, $\eta(\xi) = 0$, tedy integrační konstanta $C_2 = 0$.

$$\text{VII. 1. 1. 1b/ Pro } \delta < \xi \leq 1 - \delta$$

Zrychlení v tomto intervalu je konstantní, což :

$$\ddot{\eta}(\xi) = a \quad (9)$$

$$\text{Z toho plyně : } \dot{\eta}(\xi) = \int_{\delta}^{\xi} ad\xi + \dot{\eta}(\delta) = a(\xi - \delta) + \dot{\eta}(\delta) \quad (10)$$

určíme z rovnice /7/ :

$$\dot{\eta}(\delta) = -\frac{a}{3}\delta + a\delta + C_1 = \frac{2}{3}a\delta + C_1$$

Dosazením tohoto výrazu do rovnice /10/ máme :

$$\dot{\eta}(\xi) = a(\xi - \delta) + \frac{2}{3}a\delta + C_1 \quad (11)$$

Zdvih potom bude :

$$\eta(\xi) = \int_{\delta}^{\xi} \dot{\eta}(\xi) d\xi + \eta(\delta) = \int_{\delta}^{\xi} \left[a(\xi - \delta) + \frac{2}{3}a\delta + C_1 \right] d\xi + \eta(\delta) \quad (11')$$

$$\text{Z rovnice /8/ : } \eta(\delta) = \frac{1}{4} \alpha \delta^2 + C_1 \delta$$

Dosadíme tuto hodnotu do rovnice /11'/ a po integraci ji upravíme na tento tvar :

$$\ddot{\eta}(\xi) = \frac{\alpha}{2} \xi^2 - \left(\frac{1}{3} \alpha \delta - C_1 \right) \xi + \frac{1}{12} \alpha \delta^2 \quad (12)$$

VII. 1. 1. 1c/ Pro 1 $-\delta \leq \xi \leq 1$:

Tvar rovnice zrychlení je : $\ddot{\eta}(\xi) = D\xi^2 + E\xi + F$

Konstanty v rovnici paraboly určíme z následujících podmínek :

$$\begin{aligned} \frac{d}{d\xi} \left\{ \dot{\eta}(\xi) \right\}_{\xi=1-\delta} &= 2D\xi + E = 0 \\ 2D(1-\delta) + E &= 0 \\ D + E + F &= 0 \\ D(1-\delta)^2 + E(1+\delta) + F &= \alpha \end{aligned} \quad \left. \right\} \quad (13)$$

Řešením soustavy /13/ máme :

$$D = -\frac{\alpha}{\delta^2}, \quad ; \quad E = \frac{2\alpha}{\delta^2}(1-\delta)$$

$$F = \frac{\alpha}{\delta^2} - \frac{2\alpha}{\delta^2}(1-\delta)$$

Rovnice paraboly má po dosazení konstant tvar :

$$\ddot{\eta}(\xi) = -\frac{\alpha}{\delta^2} \xi^2 + \frac{2\alpha}{\delta^2}(1-\delta)\xi + \frac{\alpha}{\delta^2} - \frac{2\alpha}{\delta^2}(1-\delta) \quad (14)$$

Podobně jako v předchozím intervalu určíme rychlostní a zdvihovou závislost :

$$\begin{aligned} \dot{\eta}(\xi) &= \int_{1-\delta}^{\xi} \ddot{\eta}(\xi') d\xi' + \dot{\eta}(1-\delta) = \\ &= \int_{1-\delta}^{\xi} \left[\left(-\frac{\alpha}{\delta^2} \xi'^2 + \frac{2\alpha}{\delta^2}(1-\delta)\xi' + \frac{\alpha}{\delta^2} - \frac{2\alpha}{\delta^2}(1-\delta) \right) \right] d\xi' + \alpha - \frac{4}{3} \alpha \delta + C_1 \end{aligned}$$

Kde $\dot{\eta}(1-\delta) = \alpha - \frac{4}{3} \alpha + C_1$ vyšlo při dosazení za $\xi = 1-\delta$

do rovnice /11/:

$$\ddot{\eta}(\xi) = -\frac{\alpha}{3\delta^2}\xi^3 + \frac{\alpha}{\delta^2}(1-\delta)\xi^2 + \left[\frac{\alpha}{\delta^2} - \frac{2\alpha}{\delta^2}(1-\delta) \right] \xi - \frac{2}{3} \cdot \frac{\alpha}{\delta^2}(1-\delta)^3 - \frac{\alpha}{\delta^2}(1-\delta) + \frac{2}{\delta^2}(1-\delta)^2 a + a - \frac{4}{3} \alpha \delta + C_1 \quad (15)$$

Nyní můžeme určit konstantu C_1 z podmínky /3/ :

$$\ddot{\eta}(1) = \frac{2}{3} \cdot \frac{\alpha}{\delta^2} - \frac{2\alpha}{\delta^2}(1-\delta) - \frac{2}{3} \cdot \frac{\alpha}{\delta^2}(1-\delta)^3 + \frac{2\alpha}{\delta^2}(1-\delta)^2 - \frac{4}{3} \alpha \delta + a + C_1 = 0$$

a nám vychází : $C_1 = -\frac{2}{3} \alpha \delta - a$. (16)

Dosazením vztahu /16/ do rovnice /15/ získáme :

$$\ddot{\eta}(\xi) = -\frac{\alpha}{3\delta^2}\xi^3 + \frac{\alpha}{\delta^2}(1-\delta)\xi^2 + \frac{\alpha}{\delta^2}(2\delta-1)\xi + \frac{\alpha}{3\delta^2}(1-3\delta) \quad (17)$$

Pro zdvih platí rovnice :

$$\begin{aligned} \eta(\xi) &= \int_{1-\delta}^{\xi} \dot{\eta}(\xi) \cdot d\xi + \eta(1-\delta) = \\ &= \int_{1-\delta}^{\xi} \left[-\frac{\alpha}{3\delta^2}\xi^3 + \frac{\alpha}{\delta^2}(1-\delta)\xi^2 + \frac{\alpha}{\delta^2}(2\delta-1)\xi + \frac{\alpha}{3\delta^2}(1-3\delta) \right] d\xi - \\ &\quad - \frac{\alpha}{2}(1-\delta)^2 - \left(\frac{\alpha \delta}{3} - C_1 \right) (1-\delta) + \frac{\alpha \delta^2}{12}. \end{aligned}$$

Po upravení této integrace bude poslední tvar zdvihu vy-

padat takto :

$$\begin{aligned} \eta(\xi) &= (1-\delta) \left(\frac{\alpha}{2} - \frac{5\alpha \delta}{6} + C_1 \right) + \frac{\alpha \delta^2}{12} + \frac{\alpha}{12\delta^2}(1-\delta) \cdot (-1- \\ &\quad - 3\delta + 3\delta^2 + 3\delta^3) - \frac{\alpha}{12\delta^2}\xi^4 + \frac{\alpha}{3\delta^2}(1-\delta)\xi^3 + \\ &\quad + \frac{\alpha}{2\delta^2}(2\delta-1)\xi^2 + \frac{\alpha}{3\delta^2}(1-3\delta)\xi. \quad (18) \end{aligned}$$

Protože jsme pro výpočet zdvihofé a rychlostní závislosti použili průběhu zrychlení podle obrázku 16 a skutečný průběh zrychlení má být na obrázku 15, proto je třeba v okrajové podmínce /4/ změnit znaménko. Správná okrajová podmínka, která nám umožní výpočet konstanty a , je :

$$\eta(1) = -1$$

$$\begin{aligned} \text{Po dosazení máme : } \\ \eta(1) &= (1-\delta)\left(\frac{\alpha}{2} - \frac{5\alpha\delta}{6} + C_1\right) + \frac{\alpha\delta^2}{12} + \frac{\alpha}{12\delta^2}(1-\delta)(-1-3\delta-3\delta^2-3\delta^3) - \\ &- \frac{\alpha}{12}\delta^2 + \frac{\alpha}{3\delta^2}(1-\delta) + \frac{\alpha}{2\delta^2}(2\delta-1) + \frac{\alpha}{3\delta^2}(1-3\delta) = -1 \\ &= (1-\delta)\left(\frac{\alpha}{2} - \frac{5\alpha\delta}{6} + C_1\right) - \frac{\alpha\delta^2}{6} = -1 \end{aligned} \quad (19)$$

Řešením soustavy rovnic /16/ a /19/ nám vyjdou :

$$C_1 = -2$$

$$a = \frac{6}{3-2}$$

Hodnoty C_1 a a dosadíme do rovnic pro zrychlení, rychlosti a zdvihy v jednotlivých intervalech. Při dosazování změníme znaménka u všech členů v rovnicích. To proto, že jsme při odvozování závislosti použili průběhu zrychlení podle obrázku 16 a ne správného průběhu zrychlení. Po úpravě dostaneme :

pro zrychlení :

$$\ddot{\eta}(\xi) = \begin{cases} 2f(\xi) & \text{pro } 0 \leq \xi \leq 1 \\ 0 & \text{pro } \xi = 0 \\ -2f(\xi) & \text{pro } -1 \leq \xi < 0 \end{cases} \quad (20)$$

příčemž :

$$\frac{6}{3-2\delta} \frac{|\xi|}{\delta} \left(2 - \frac{|\xi|}{\delta} \right) \quad \text{pro } |\xi| \leq \delta$$

$$2f(\xi) = \begin{cases} -\frac{6}{3-2\delta} & \text{pro } \delta < |\xi| \leq 1-\delta \end{cases}$$

$$-\frac{6}{3-2\delta} \frac{1-|\xi|}{\delta} \left(2 - \frac{1-|\xi|}{\delta} \right) \quad \text{pro } 1-\delta < |\xi| \leq 1$$

pro rychlosť :

$$\dot{\eta}(\xi) = 1f(\xi) \quad (21)$$

příčemž :

$$2 - \frac{2}{\delta(3-2\delta)} \left(3|\xi|^2 - \frac{|\xi|^3}{\delta} \right) \quad \text{pro } |\xi| \leq \delta$$

$$1f(\xi) = \begin{cases} \frac{2}{3-2\delta} (3-3|\xi|-\delta) & \text{pro } \delta < |\xi| \leq 1-\delta \\ \frac{2}{\delta(3-2\delta)} \cdot \left[3(1-|\xi|)^2 - \frac{(1-|\xi|)^3}{\delta} \right] & \text{pro } 1-\delta < |\xi| \leq 1 \end{cases}$$

pro zdvih :

$$\eta(\xi) = \begin{cases} of(\xi) & \text{pro } 0 \leq \xi \leq 1 \\ 0 & \text{pro } \xi = 0 \\ -of(\xi) & \text{pro } -1 \leq \xi \leq 0 \end{cases} \quad (22)$$

příčemž :

$$2|\xi| - \frac{\xi^2}{2(3-2\delta)} \frac{1}{\delta} \left(4 - \frac{1}{\delta} |\xi| \right) \quad \text{pro } |\xi| \leq \delta$$

$$of(\xi) = \frac{1}{2(3-2\delta)} \left[6|\xi|(2-|\xi|) - \delta(\delta-4|\xi|) \right] \quad \text{pro } \delta < |\xi| \leq 1-\delta$$

$$1 - \frac{(1-|\xi|)^2}{2(3-2\delta)} \cdot \frac{1-|\xi|}{\delta} \left(4 - \frac{1-|\xi|}{\delta} \right) \quad \text{pro } 1-\delta < |\xi| \leq 1$$

Pro $\delta = \frac{1}{3}$ a různé zvolené úhly $\tau \in \langle 5^\circ, 45^\circ \rangle$ s použi-

tím uvedených vztahů /20/, /21/, /22/ na počítači typu

9100B CALCULATOR - HEWLETT - PACKARD získáme konkrétní

hodnoty pro zdvih, rychlosť a zrychlení, ktoré jsou v tabuľke 1

Závislosť zdvihu, rychlosťi a zrychlení na úhly

pootočení vačky pro $\tau \in \langle 5^\circ, 45^\circ \rangle$.

| $\tau [^\circ]$ | $\vartheta [^\circ]$ | $\vartheta' [\text{rad.}]$ | $\vartheta'' [\text{rad.}]$ |
|-----------------|----------------------|----------------------------|-----------------------------|
| 5 | 0 | 0 | 0 |
| 7 | 0,01308214287 | 0,01909285714 | 1,033165307 |
| 9 | 0,09617142860 | 0,06788571428 | 1,701684267 |
| 11 | 0,2959392857 | 0,1336500000 | 2,005556525 |
| 13 | 0,6338095237 | 0,2042857142 | 2,025815052 |
| 15 | 1,113095238 | 0,2750000000 | 2,2025815121 |
| 17 | 1,733809523 | 0,34571422857 | 2,025815144 |
| 19 | 2,495939285 | 0,4163499999 | 2,005556513 |
| 21 | 3,396171428 | 0,4821142857 | 1,701684279 |
| 23 | 4,413082142 | 0,5309071428 | 1,033165137 |
| 25 | 5,50000000 | 0,5500000000 | 0,00000000 |
| 27 | 6,586917857 | 0,53090714228 | -1,033165317 |
| 29 | 7,603828571 | 0,4821142857 | -1,701684279 |
| 31 | 8,504060714 | 0,4163499999 | -2,005556513 |
| 33 | 9,266190476 | 0,3457142857 | -2,025815144 |
| 35 | 9,886904761 | 0,2750000000 | -2,025815121 |
| 37 | 10,36619047 | 0,2042857142 | -2,025815052 |
| 39 | 10,70406071 | 0,1336500000 | -2,005556525 |
| 41 | 10,90382857 | 0,06788571428 | -1,701684267 |
| 43 | 10,98691785 | 0,11909285714 | -1,033165307 |
| 45 | 11,00000000 | 0,00000000000 | 0,0000000000 |

Tabuľka 1

VII. 1. 1. 2. Pro interval III

Pro výpočet rychlostní a zdvihofé závislosti při zvoleném zrychlení v tomto intervalu provedeme transformaci počátku souřadnic η, ξ do bodu $S = [\tau_0, \dot{v}_0]$. Průběh zdvihu v tomto intervalu není tak jednoduchý jako byl v intervalu I. V tomto intervalu totiž probíhá nejprve stažení skřipce zpět k okraji tkaniny. Této činnost odpovídá levá část intervalu III. Dále vlivem přiražení útku bidlem uvolňuje. Toto uvolňování neprobíhá konstantní rychlostí, protože bidlo se pohybuje s klesající rychlostí. To je důvod, proč bod S není v intervalu III symetrickým bodem průběhu zdvihu.

Transformované vzorce pro posunutí počátku souřadnic do bodu S a pro přivedení na bezrozměrný tvar jsou :

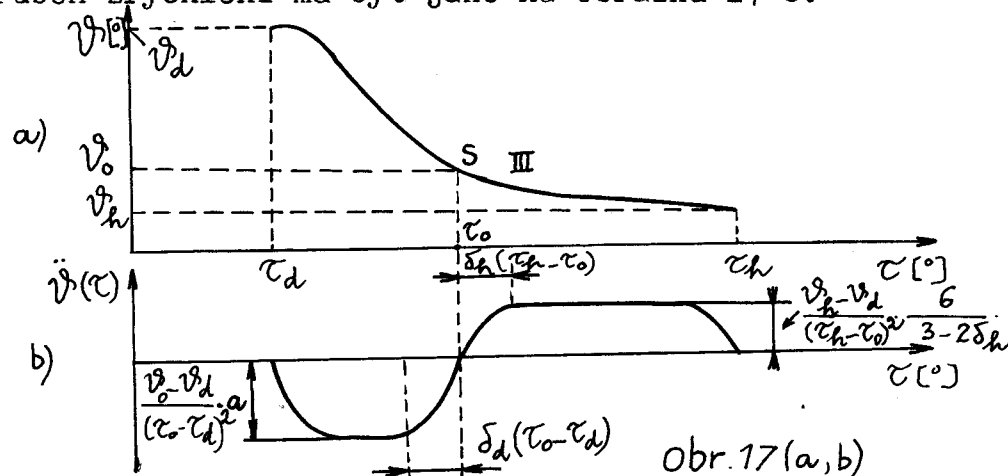
pro $\tau_d \leq \tau \leq \tau_0$ platí :

$$\xi = \frac{\tau - \tau_0}{\tau_0 - \tau_d} \quad (23) \quad ; \quad \eta = \frac{\dot{v} - \dot{v}_0}{\dot{v}_0 - \dot{v}_d} \quad (24)$$

pro $\tau_0 \leq \tau \leq \tau_h$ platí :

$$\xi = \frac{\tau - \tau_0}{\tau_h - \tau_0} \quad (25) \quad ; \quad \eta = \frac{\dot{v} - \dot{v}_0}{\dot{v}_h - \dot{v}_d} \quad (26)$$

Průběh zrychlení má být jako na obrázku 17 b.



Obr. 17(a,b)

Z daných rovnic /25/, /26/ je vidět :

$$\begin{aligned}\xi(\tau_h - \tau_o) &= \tau - \tau_o \\ \eta(\xi)(\vartheta_h - \vartheta_o) &= \vartheta - \vartheta_o \\ \frac{d\vartheta}{d\tau} &= \frac{\vartheta_h - \vartheta_o}{\tau_h - \tau_o} \cdot d\xi \\ \frac{d^2\vartheta}{d\tau^2} = \frac{\vartheta_h - \vartheta_o}{(\tau_h - \tau_o)^2} \cdot \frac{d^2\xi}{d\tau^2} &= \frac{\vartheta_h - \vartheta_o}{(\tau_h - \tau_o)^2} \cdot \frac{d^2\eta}{d\xi^2}\end{aligned}$$

/podobně počítáme i pro $\tau \in \langle \tau_d, \tau_o \rangle$.

Odtud vyplýne, že chceme-li použít hodnoty a , která byla vypočtena pro interval I, je nutno uvažovat ještě součinitel $\frac{\vartheta_h - \vartheta_o}{(\tau_h - \tau_o)}$ pro $\tau \in \langle \tau_o, \tau_h \rangle$, a $\frac{\vartheta_o - \vartheta_d}{(\tau_d - \tau_o)}$ pro $\tau \in \langle \tau_d, \tau_o \rangle$, pokud chceme používat souřadnice $\frac{d^2\vartheta}{d\tau^2}, \tau$ místo souřadnice $\frac{d^2\eta}{d\xi^2}, \xi$.

Protože bod S neleží ve středu intervalu III, zvolíme proto také $\delta_h \neq \delta_d$. V souřadnici $\frac{d^2\vartheta}{d\tau^2}$ a τ je třeba vynásobit délou příslušné části intervalu, pokud má být číslo δ bez rozměrné a mít stejný význam, jaký plnilo v intervalu I.

Požadujeme dále, aby obě části zdvihofové závislosti měly v bodě S společnou tečnu. Z toho vyplýne podmínka, že plocha pod křivkou zrychlení musí být vpravo i vlevo od bodu τ_o stejnou velikost. To znamená :

$$a_d \cdot \frac{\vartheta_o - \vartheta_d}{(\tau_o - \tau_d)^2} (\tau_o - \tau_d) \left(2 \cdot \frac{2}{3} \delta_d + 1 - 2 \delta_d \right) = a_h \frac{\vartheta_h - \vartheta_o}{(\tau_h - \tau_o)^2} (\tau_h - \tau_o) \left(2 \cdot \frac{2}{3} \delta_h + 1 - 2 \delta_h \right)$$

Po dosazení i opravení této rovnice za $a_d = \frac{6}{3 - 2\delta_d}$ a

$$a_h = \frac{6}{3 - 2\delta_h} \quad \text{máme :}$$

$$\frac{\vartheta_o - \vartheta_d}{\tau_o - \tau_d} = \frac{\vartheta_h - \vartheta_o}{\tau_h - \tau_o} \quad (27)$$

V bodě τ_0 požadujeme také hladký průběh zrychlení, proto máme další podmínku, která je :

$$\text{spojitost } \left. \frac{d^3\ddot{\nu}}{d\tau^3} \right|_{\tau_0} : \frac{2\alpha_d \cdot \frac{\dot{\nu}_0 - \dot{\nu}_d}{(\tau_0 - \tau_d)^2}}{\delta_d (\tau_0 - \tau_d)} = \frac{2\alpha_h \cdot \frac{\dot{\nu}_h - \dot{\nu}_0}{(\tau_h - \tau_0)^2}}{\delta_h (\tau_h - \tau_0)}$$

Upravení této rovnice s použitím rovnice /27/ nám vychází :

$$\frac{\delta_h(3-2\delta_h)}{\delta_d(3-2\delta_d)} = \frac{(\dot{\nu}_0 - \dot{\nu}_d)^2}{(\dot{\nu}_h - \dot{\nu}_0)^2} = \frac{(\tau_0 - \tau_d)^2}{(\tau_h - \tau_0)^2} \quad (28)$$

Přesně určit polohu bodu S z pohybu bidla není snadné. Zavedeme proto tzv. porovnávací číslo ξ tímto způsobem :

Předpokládáme -li, že bod S leží ve středu intervalu III, vyjde nám maximální amplituda zrychlení :

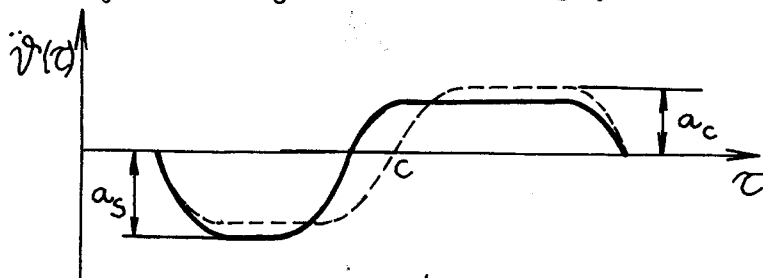
$$\alpha_c = \frac{\dot{\nu}_h - \dot{\nu}_d}{(\tau_h - \tau_0)^2} \cdot \frac{6}{3-2\delta_d}$$

Hodnota α_c bude vpravo i vlevo od bodu C stejná.

Při skutečné poloze bodu S /tedy mimo střed intervalu/ získáme pro levou část průběhu zrychlení největší amplitudu :

$$\alpha_s = \frac{\dot{\nu}_0 - \dot{\nu}_d}{(\tau_0 - \tau_d)^2} \cdot \left(\frac{6}{3-2\delta_d} \right)$$

Grafický záznam je na obrázku 18 :



Obr. 18

Porovnávací číslo ξ pak definujeme poměrem :

$$\varepsilon = \frac{\alpha_s}{\alpha_c} = \frac{\frac{V_o - V_d}{(T_o - T_d)^2} \cdot \frac{6}{3-2\delta_d}}{\frac{V_h - V_d}{(T_h - T_d)^2} \cdot \frac{6}{3-2\delta_d}} \quad (29)$$

Po úpravě :

$$\varepsilon = \frac{V_o}{V_h V_d} \cdot \frac{\left(\frac{T_h - T_d}{2}\right)^2}{(T_o - T_d)^2} \quad (30)$$

Vypočítáme souřadnice bodu S $[T_o, V_o]$ a δ_h za předpokladu, že si zvolíme vhodné hodnoty ε a $\delta_d = \delta$.

$$\text{Zavedeme : } V_h - V_d = V_h - V_o + V_o - V_d \quad (31)$$

$$T_h - T_d = T_h - T_o + T_o - T_d \quad (32)$$

Použitím vztahů /31/, /32/ dosazených do rovnice /30/ máme :

$$2\varepsilon = \frac{(V_o - V_d)}{(V_h - V_o) + (V_o - V_d)} \cdot \left[\frac{(T_h - T_o) + (T_o - T_d)}{(T_o - T_d)} \right]^2 = \\ = \frac{1}{\frac{V_h - V_o}{V_o - V_d} + 1} \cdot \left[\frac{T_h - T_o}{T_o - T_d} + 1 \right]^2 \quad (33)$$

$$\frac{V_h - V_o}{V_o - V_d}$$

Výraz $\frac{V_h - V_o}{V_o - V_d}$ v jmenovateli prvního zlomku předchozí rovnice můžeme napsat pomocí vztahu /27/ na tvar :

$$\frac{V_h - V_o}{V_o - V_d} = \frac{T_h - T_o}{T_o - T_d}$$

Úpravou rovnice /33/ máme :

$$2\varepsilon = \frac{T_h - T_o}{T_o - T_d} + 1 = \frac{V_h - V_o}{V_o - V_d} + 1 \quad (34)$$

Z těchto rovnic už vyplývají :

$$T_o = T_d + \frac{T_h - T_d}{2\varepsilon} \quad (35)$$

$$V_o = V_d + \frac{V_h - V_d}{2\varepsilon} \quad (36)$$

Dosazení T_o a V_o do transformačních rovnic /25/, /26/

a po úpravě máme :

pro $T \in \langle 125, T_o \rangle$

$$\text{platí : } \begin{cases} \xi = 2\varepsilon \frac{T - T_o}{180 - 125} \\ \eta = 2\varepsilon \frac{V - V_o}{15 - 11} \end{cases}$$

pro $\tau \in (\tau_0, 180)$ platí : $\xi = \frac{2\varepsilon(\tau - \tau_0)}{(2\varepsilon-1)(180-125)}$

$$\eta = \frac{2\varepsilon}{2\varepsilon-1} \cdot \frac{\vartheta - \vartheta_0}{1,5-11}$$

Z rovnic /28/, /34/ nám vychází :

$$\delta_h(3-2\delta_h) = \delta(3-2\delta)\left(\frac{1}{2\varepsilon-1}\right)^2 \quad (37)$$

$$\delta_h^2 - \frac{3}{2}\delta_h + \delta\left(\frac{3}{2}-\delta\right)\left(\frac{1}{2\varepsilon-1}\right)^2 = 0 \quad (38)$$

řešení rovnice /38/ vyplývá koeficient :

$$\delta_h = \frac{3}{4} \left\{ 1 - \sqrt{1 - \delta\left(\frac{3}{2}-\delta\right)\left[\frac{4}{3(2\varepsilon-1)}\right]^2} \right\}$$

Při této transformaci zůstávají v platnosti předchozí výrazy /20/, /21/, /22/ pro η , $\frac{d\eta}{d\xi}$, $\frac{d^2\eta}{d\xi^2}$, ale s opačným znaménkem. To proto, že zdvih se v intervalu III zmenšuje, zatímco v intervalu I rostl.

Platné vzorce pro tento interval jsou :

pro zrychlení :

$$\ddot{\eta}(\xi) = \begin{cases} A & \text{pro } 0 \leq \xi \leq 1 \\ 0 & \text{pro } \xi = 0 \\ B & \text{pro } -1 \leq \xi < 0 \end{cases} \quad (39)$$

kde :

$$\frac{6}{3-2\delta_h} \frac{|\xi|}{\delta_h} \left(2 - \frac{|\xi|}{\delta_h} \right) \quad \text{pro } |\xi| \leq \delta_h$$

$$A = \begin{cases} \frac{6}{3-2\delta_h} & \text{pro } \delta_h < |\xi| \leq 1-\delta_h \\ \frac{6 \cdot 1-|\xi|}{3-2\delta_h} \frac{1-|\xi|}{\delta_h} \left(2 - \frac{1-|\xi|}{\delta_h} \right) & \text{pro } 1-\delta_h < |\xi| \leq 1 \end{cases}$$

$$- \frac{6}{3-2\delta} \frac{|\xi|}{\delta} \left(2 - \frac{|\xi|}{\delta} \right) \quad \text{pro } |\xi| \leq \delta$$

$$B = \begin{cases} - \frac{6}{3-2\delta} & \text{pro } \delta < |\xi| \leq 1-\delta \\ - \frac{6}{3-2\delta} \frac{1-|\xi|}{\delta} \left(2 - \frac{1-|\xi|}{\delta} \right) & \text{pro } 1-\delta < |\xi| \leq 1 \end{cases}$$

pro rychlosť :

$$\dot{\eta}(\xi) = \begin{cases} C \\ D \end{cases}$$

pro $-1 \leq \xi \leq 0$.pro $0 < \xi \leq 1$.

(40)

kde :

$$C = -2 + \frac{2}{\delta(3-2\delta)} \left(3\xi^2 - \frac{1|\xi|^3}{\delta} \right) \text{ pro } |\xi| \leq \delta$$

$$C = -\frac{2}{3-2\delta} (3-3|\xi|-\delta) \text{ pro } \delta < |\xi| \leq 1-\delta$$

$$C = -\frac{2}{\delta(3-2\delta)} \left[3 \cdot (1-|\xi|)^2 - \frac{(1-|\xi|)^3}{\delta} \right] \text{ pro } 1-\delta < |\xi| \leq 1$$

$$D = -2 + \frac{2}{\delta_h(3-2\delta_h)} \left(3\xi^2 - \frac{1|\xi|^3}{\delta_h} \right) \text{ pro } |\xi| \leq \delta_h$$

$$D = -\frac{2}{3-2\delta_h} (3-3|\xi|-\delta_h) \text{ pro } \delta_h < |\xi| \leq 1-\delta_h$$

$$D = -\frac{2}{\delta_h(3-2\delta_h)} \left[3 \cdot (1-|\xi|)^2 - \frac{(1-|\xi|)^3}{\delta_h} \right] \text{ pro } 1-\delta_h < |\xi| \leq 1$$

pro zdvih :

$$\eta(\xi) = \begin{cases} E \\ 0 \\ F \end{cases}$$

pro $0 \leq \xi \leq 1$ pro $\xi = 0$ pro $-1 \leq \xi < 0$.

(41)

kde :

$$E = \begin{cases} -2|\xi| + \frac{\xi^2}{2(3-2\delta_h)} \frac{|\xi|}{\delta_h} \left(4 - \frac{|\xi|}{\delta_h}\right) & \text{pro } |\xi| \leq \delta_h \\ -\frac{1}{2(3-2\delta_h)} \cdot [6|\xi|(2-|\xi|) - \delta_h(\delta_h + 4|\xi|)] & \text{pro } \delta_h < |\xi| \leq 1-\delta_h \\ -1 + \frac{(1-|\xi|)^2}{2(3-2\delta_h)} \cdot \frac{1-|\xi|}{\delta_h} \left(4 - \frac{1-|\xi|}{\delta_h}\right) & \text{pro } 1-\delta_h < |\xi| \leq 1 \\ 2|\xi| - \frac{\xi^2}{2(3-2\delta)} \cdot \frac{|\xi|}{\delta} \left(4 - \frac{|\xi|}{\delta}\right) & \text{pro } |\xi| \leq \delta \\ -\frac{1}{2(3-2\delta)} \cdot [6|\xi|(2-|\xi|) - \delta(\delta + 4|\xi|)] & \text{pro } \delta < |\xi| \leq 1-\delta \\ 1 - \frac{(1-|\xi|)^2}{2(3-2\delta)} \cdot \frac{1-|\xi|}{\delta} \left(4 - \frac{1-|\xi|}{\delta}\right) & \text{pro } 1-\delta < |\xi| \leq 1 \end{cases}$$

Konkrétní vypočtené hodnoty pro zdvih, rychlosť

a zrychlení jsou uvedeny v tabulce 2.

/Poznámka : při výpočtu jsem zvolil $\delta = \frac{1}{3}$ a $E = 2.$ /

Závislost zdvihu, rychlosti a zrychlení na úhly

pootočení vačky pro $\tau \in \langle 125^\circ, 180^\circ \rangle$.

| $\tau [^\circ]$ | $\vartheta [^\circ]$ | $\vartheta' [\text{rad.}]$ | $\vartheta'' [\text{rad.}]$ |
|-----------------|----------------------|----------------------------|-----------------------------|
| 125 | 11,00000000 | 0,000000000 | 0,000000000 |
| 127 | 10,98325622 | -0,02409053246 | -1,2628133967 |
| 129 | 10,88245185 | -0,07996006518 | -1,820801831 |
| 131 | 10,65811589 | -0,1444628099 | -1,850782232 |
| 133 | 10,30458579 | -0,2090672963 | -1,850782164 |
| 135 | 9,821908510 | -0,2733751597 | -1,789598556 |
| 137 | 9,218156744 | -0,3266177993 | -1,143507334 |
| 139 | 8,538671177 | -0,3450443463 | 0,1810775815 |
| 141 | 7,862630075 | -0,3296860925 | 0,4894191849 |
| 143 | 7,220341843 | -0,3126021393 | 0,4894191906 |
| 145 | 6,612221518 | -0,295518181862 | 0,4894192307 |
| 147 | 6,038269098 | -0,2784342330 | 0,4894192078 |
| 149 | 5,498484585 | -0,2613502798 | 0,4894192250 |
| 151 | 4,992867979 | -0,244263266 | 0,4894192594 |
| 153 | 4,521419279 | -0,2271823734 | 0,4894192422 |
| 155 | 4,084138485 | -0,2100984203 | 0,4894191849 |
| 157 | 3,681025598 | -0,1930144671 | 0,4894192193 |
| 159 | 3,312080616 | -0,1759305139 | 0,4894191964 |
| 161 | 2,977303542 | -0,158465607 | 0,4894192091 |
| 163 | 2,676694374 | -0,1417626075 | 0,4894192078 |
| 165 | 2,410253111 | -0,1246786544 | 0,494192250 |
| 167 | 2,177979756 | -0,1075447012 | 0,4894191964 |
| 169 | 1,979874306 | -0,09051074804 | 0,4894192010 |
| 171 | 1,815936764 | -0,07342679485 | 0,4894192004 |
| 173 | 1,686167127 | -0,05634284168 | 0,4894192032 |
| 175 | 1,590565397 | -0,03925888850 | 0,4894192038 |
| 177 | 1,529131573 | -0,02217493532 | 0,4894192021 |
| 179 | 1,501864675 | -0,00510945389 | 0,474406239 |

Tabulka 2

VII. 1. 1. 3. Pro interval V

Pro tento interval platí všechny vzorce pro zrychlení, rychlosť a zdvih, odvozené pro interval I. Je to proto, že charakter zdvihu je stejný, jenom se změnil směr pohybu. Je tedy nutno změnit znaménko. Konkrétní vztahy, které platí v tomto intervalu, jsou :

pro zrychlení :

$$\ddot{\eta}(\xi) = \begin{cases} 2f(\xi) & \text{pro } 0 \leq \xi \leq 1 \\ 0 & \text{pro } \xi = 0 \\ -2f(\xi) & \text{pro } -1 \leq \xi < 0 \end{cases} \quad (42)$$

přičemž :

$$2f(\xi) = \begin{cases} \frac{6}{3-2\delta} \frac{|\xi|}{\delta} \left(2 - \frac{|\xi|}{\delta}\right) & \text{pro } |\xi| \leq \delta \\ \frac{6}{3-2\delta} & \text{pro } \delta < |\xi| \leq 1-\delta \\ \frac{6}{3-2\delta} \frac{1-|\xi|}{\delta} \left(2 - \frac{1-|\xi|}{\delta}\right) & \text{pro } 1-\delta < |\xi| \leq 1 \end{cases}$$

pro rychlosť :

$$\dot{\eta}(\xi) = f(\xi) \quad (43)$$

přičemž :

$$f(\xi) = \begin{cases} -2 + \frac{2}{\delta(3-2\delta)} \cdot \left(3|\xi|^2 - \frac{|\xi|^3}{\delta}\right) & \text{pro } |\xi| \leq \delta \\ -\frac{2}{3-2\delta} (3-3|\xi|-\delta) & \text{pro } \delta < |\xi| \leq 1-\delta \\ -\frac{2}{\delta(3-2\delta)} \cdot \left[3(1-|\xi|)^2 - \frac{(1-|\xi|)^3}{\delta}\right] & \text{pro } 1-\delta < |\xi| \leq 1 \end{cases}$$

pro zdvih :

$$\eta(\xi) = \begin{cases} \alpha f(\xi) & \text{pro } 0 \leq \xi \leq 1 \\ 0 & \text{pro } \xi = 0 \\ -\alpha f(\xi) & \text{pro } -1 \leq \xi < 0 \end{cases} \quad (44)$$

přičemž :

$$\alpha f(\xi) = \begin{cases} -2|\xi| + \frac{\xi^2}{2(3-2\delta)} \frac{1}{\delta} \left(4 - \frac{1}{\delta}\right) & \text{pro } |\xi| \leq \delta \\ -\frac{1}{2(3-2\delta)} \cdot \left[6|\xi|(2-|\xi|) - \delta(\delta-4|\xi|)\right] & \text{pro } \delta < |\xi| \leq 1-\delta \\ -1 + \frac{(1-|\xi|)^2}{2(3-2\delta)} \frac{1-|\xi|}{\delta} \left(4 - \frac{1-|\xi|}{\delta}\right) & \text{pro } 1-\delta < |\xi| \leq 1 \end{cases}$$

Pro tento interval platí tyto transformační vzorce :

$$\eta = \frac{\vartheta - 0^{\circ}1,5^{\circ}}{2}$$

$$\epsilon = \frac{\vartheta - 360^{\circ} + 345^{\circ}}{2}$$

Konkrétní vypočtené hodnoty pro zrychlení, rychlosť
a zdvihy tomto intervalu při postupném zvoleném úhlu
 $\vartheta \in \langle 345^{\circ}, 360^{\circ} \rangle$ a $\delta = -\frac{1}{3}$ jsou uvedeny v tabulce 3.

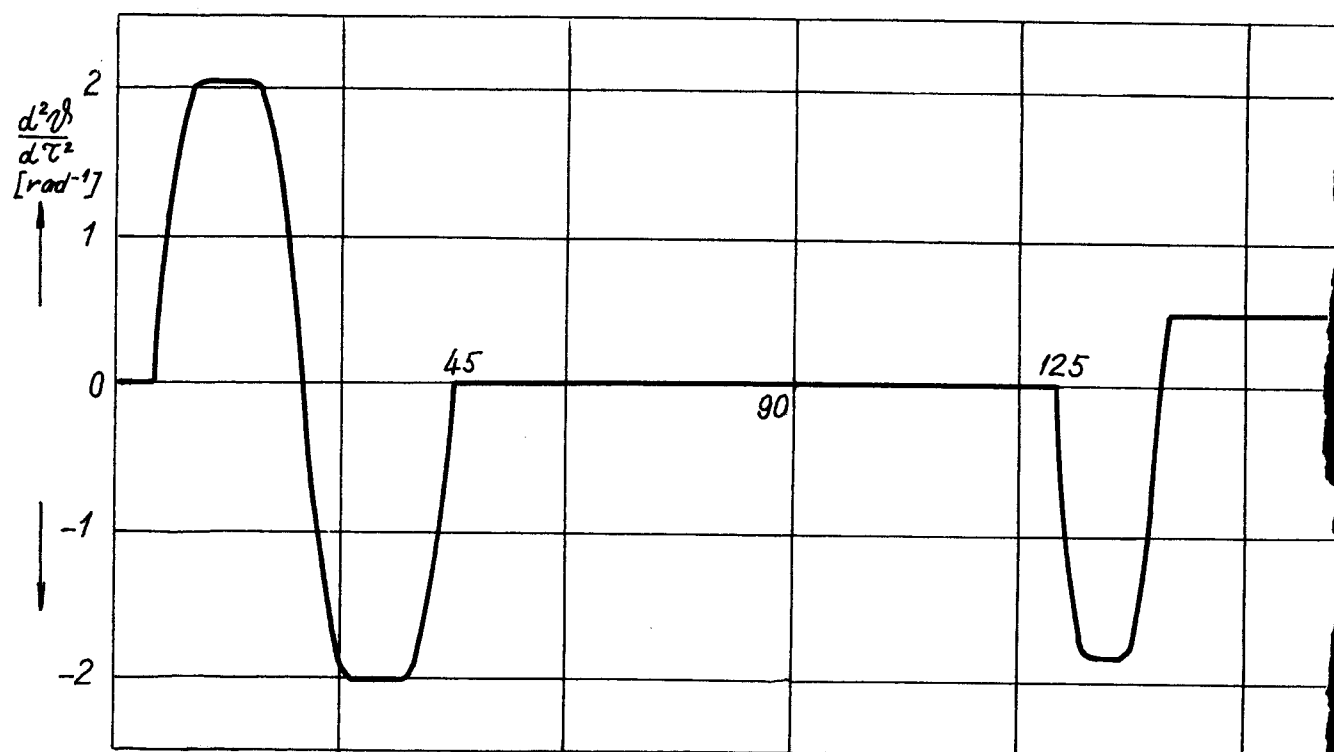
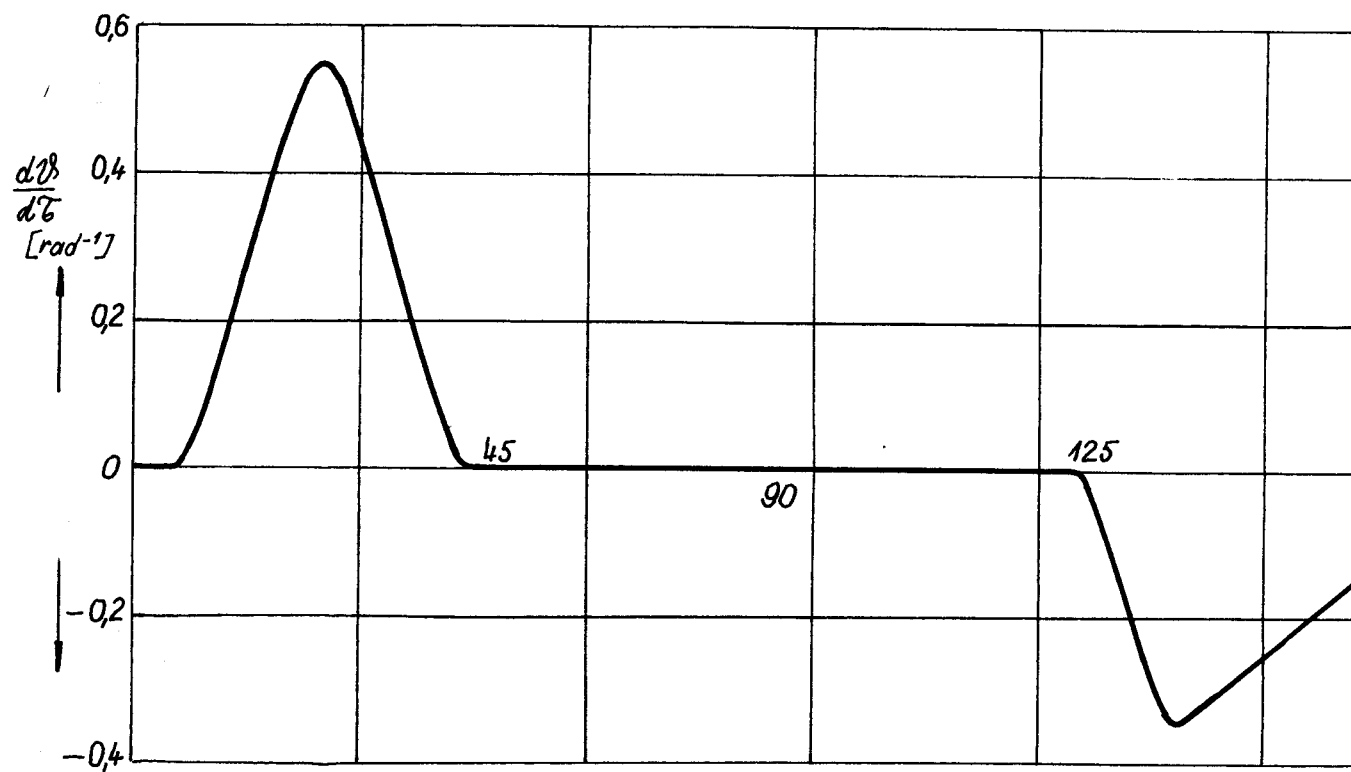
S použitím předcházejících odvozených rovnic jsem
sestavil grafický záznam průběhu zrychlení, rychlosti
a zdvihu ve všech uvedených intervalech (diagram 1,2),
čímž jsme dosáhli v jednotlivých úsecích požadovaného
předpokladu .

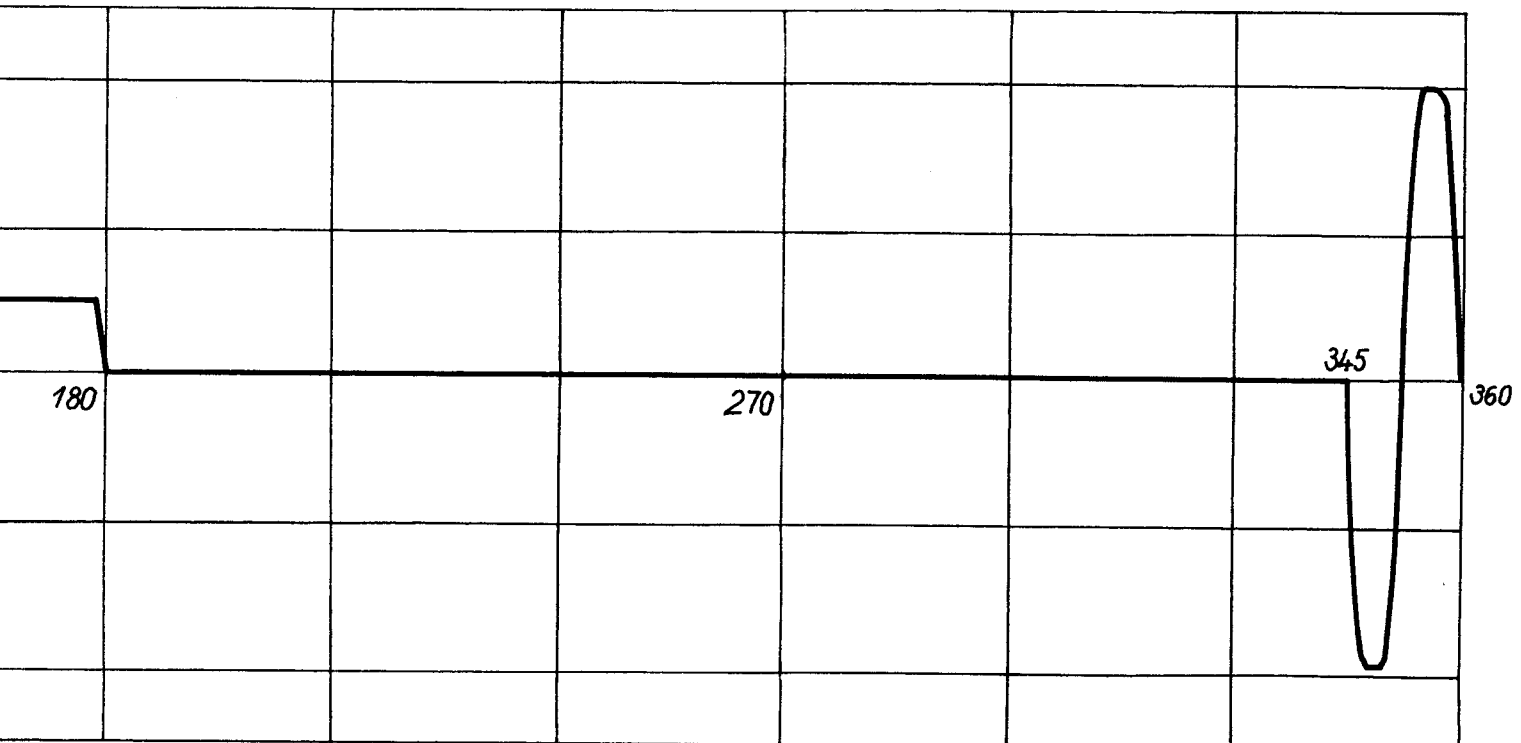
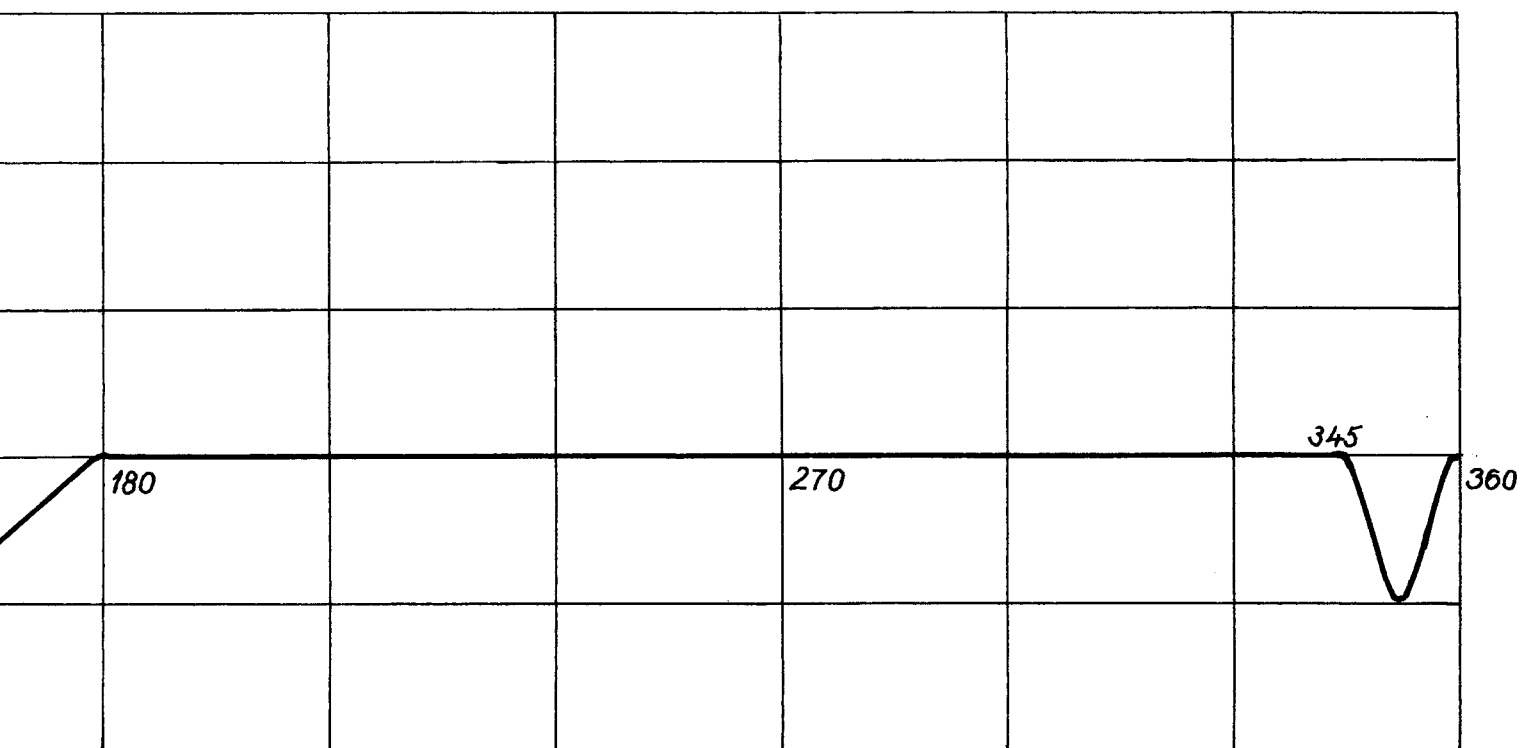
Závislost zdvihu, rychlosti a zrychlení na úhly

potočení vačky pro $\tau \in \langle 345^\circ, 360^\circ \rangle$.

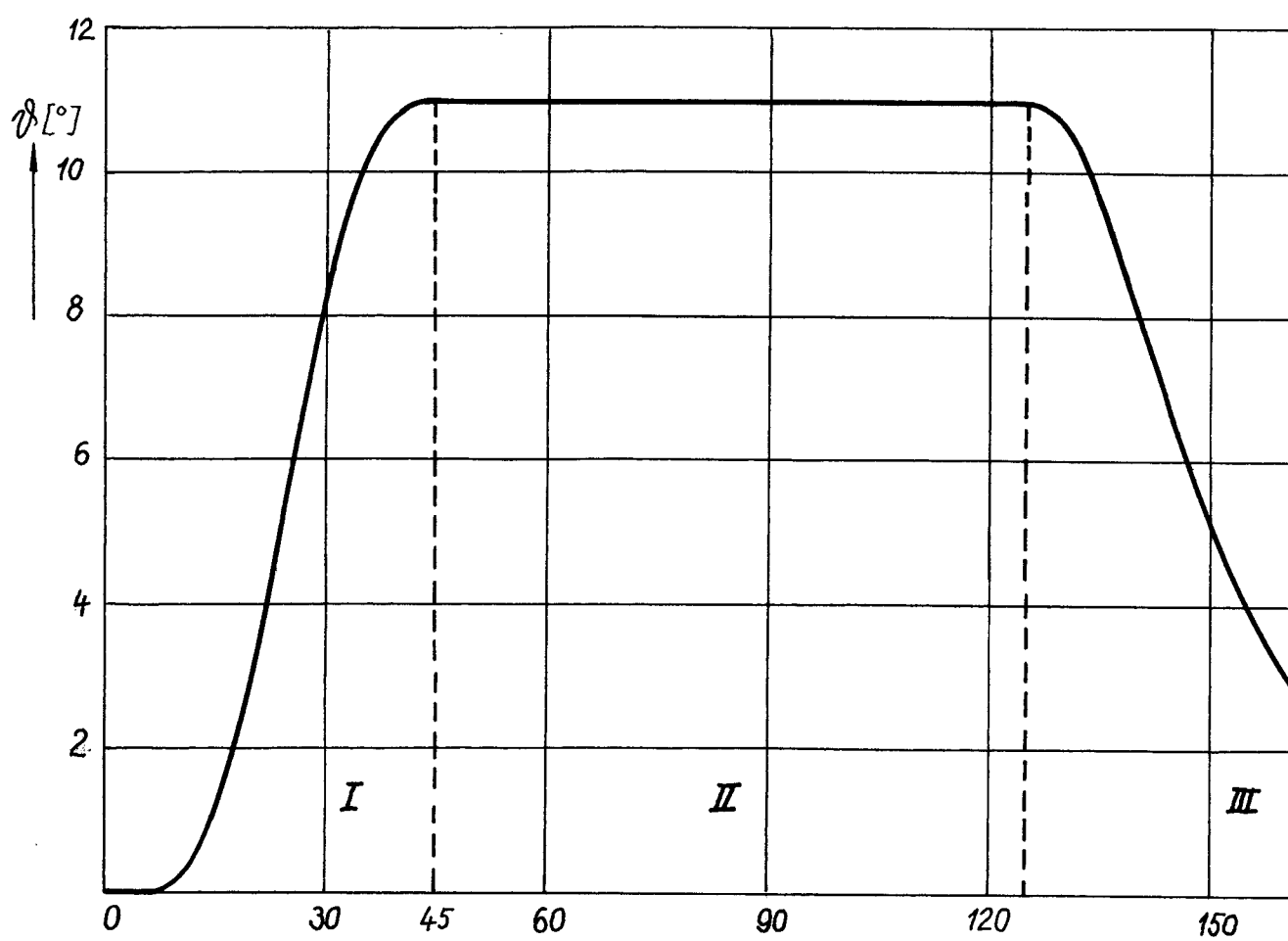
| $\tau [^\circ]$ | $\vartheta [^\circ]$ | $\vartheta' [\text{rad.}]$ | $\vartheta'' [\text{rad.}]$ |
|-----------------|----------------------|----------------------------|-----------------------------|
| 345 | 1,500000000 | 0,00000000 | 0,00000000 |
| 347 | 1,470742857 | -0,04022857143 | -1,885847035 |
| 349 | 1,322142857 | -0,1085714285 | -1,9644426744 |
| 351 | 1,036885714 | -0,1753142857 | -1,650115825 |
| 353 | 0,505428571 | -0,1968000000 | 0,7071910062 |
| 355 | 0,3035714285 | -0,1428571428 | 1,964425385 |
| 357 | 0,08642857142 | -0,07428571428 | 1,964426736 |
| 359 | 0,00411428557 | -0,0188571428 | 1,257230478 |

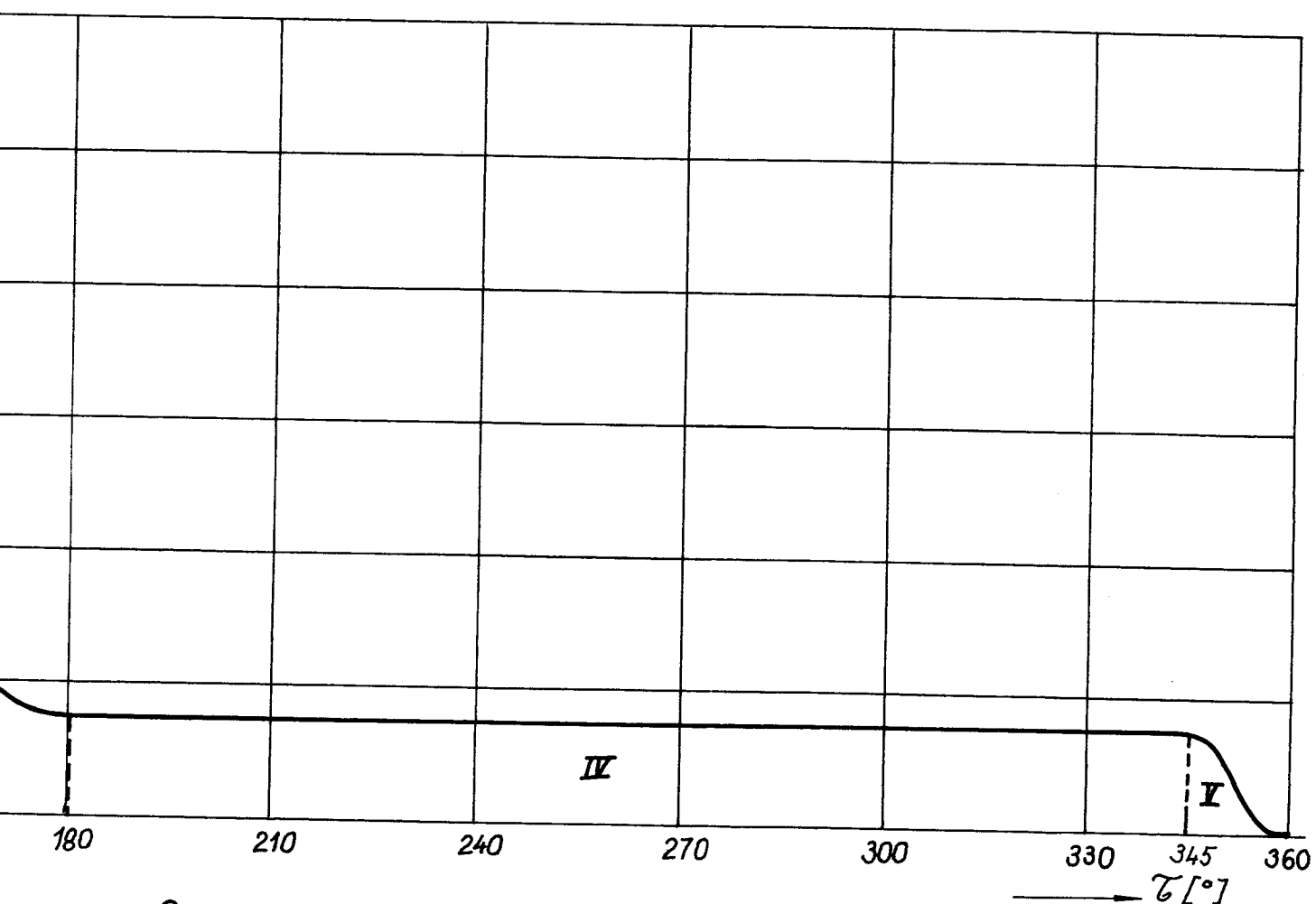
Tabulka 3





agram č. 1





| | | | |
|-----------------|---------------|---------|--------|
| VŠST Liberec | Dávkovač útku | Katedra | KTS |
| Fakulta strojní | | DP | str.48 |

VII. 1. 2. Výpočet polárních souřadnic φ, r dráhy
středu kladíčky

Schematicky je znázorněn na obrázku 19.

V počáteční poloze mechanismu jsou dány míry a , b , r_o . Při pootočení vačky o úhel \mathcal{T} nabude vahadlo v reciprokém pohybu polohu \overline{AM} a úhel \mathcal{V}_o se v našem případě zmenší o hodnotu \mathcal{V} . Předpokládejme, že je dána zdvihová závislost mezi pootočením \mathcal{T} vačky a pootočením \mathcal{V} vahadla, tj.

$$\mathcal{V} = g(\mathcal{T}) \quad (44')$$

Číselný výpočet polárních souřadnic φ, r dráhy středu kladíčky v reciprokém pohybu provádíme pro postupně volené hodnoty úhlu \mathcal{T} podle těchto vzorců:

$$r_o^2 = a^2 + b^2 - 2ab \cos \mathcal{V}_o \quad (45)$$

$$\frac{\sin \delta}{\sin \mathcal{V}_o} = \frac{a}{r_o} \quad (46)$$

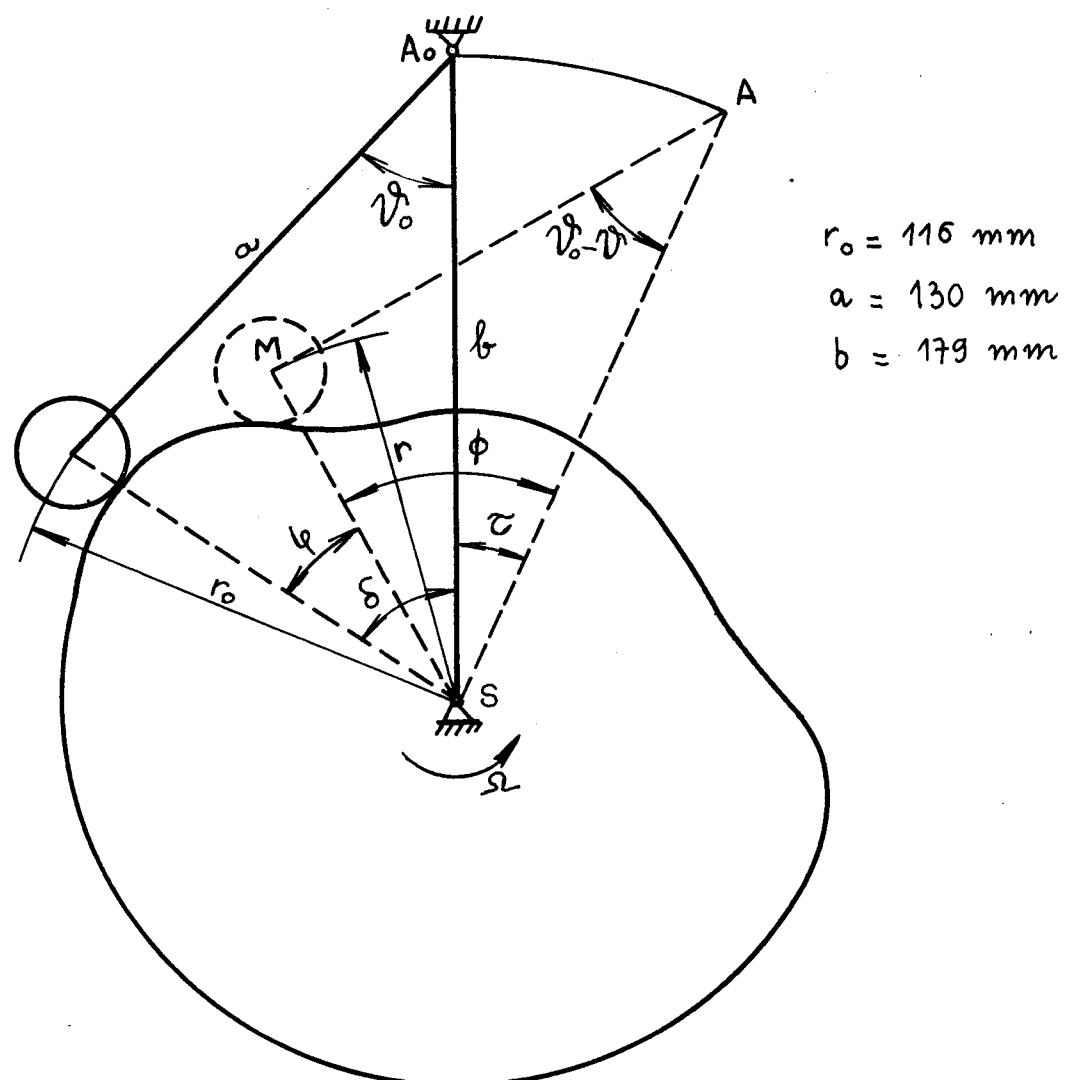
$$r^2 = a^2 + b^2 - 2ab \cos (\mathcal{V}_o - \mathcal{V}) \quad (47)$$

$$\frac{\sin \phi}{\sin (\mathcal{V}_o - \mathcal{V})} = \frac{a}{r} \quad (48)$$

$$\varphi = \delta + \mathcal{T} - \phi \quad (49)$$

Postup výpočtu : Z rovnic (45), (46) určíme konstantní \mathcal{V}_o, δ . S použitím hodnot úhlu \mathcal{V} pro volené \mathcal{T} z rovnice (44') dostaneme z rovnice (47) polární souřadnice r . Po určení pomocného úhlu ϕ z rovnice (48) plyne nakonec z rovnice (49) polární souřadnice φ .

Konkrétní výpočtené hodnoty jsou uvedeny v nasledujících -h tabulkách 4,5,6.



Obr. 19

Závislost polárních souřadnic vačky
pro $\varphi \in \langle 5^\circ, 45^\circ \rangle$.

| $\varphi [^\circ]$ | $r [mm]$ | $(r - r_0) [mm]$ |
|--------------------|----------|------------------|
| 5 | 115,895 | 0,000 |
| 10 | 115,491 | 0,404 |
| 15 | 113,426 | 2,469 |
| 20 | 109,545 | 6,350 |
| 25 | 104,297 | 11,598 |
| 30 | 99,024 | 16,870 |
| 35 | 94,957 | 20,937 |
| 40 | 92,388 | 23,506 |
| 45 | 91,390 | 24,504 |

Tabulka 4

Závislost polárních souřadnic vačky

pro $\psi \in \langle 125^\circ, 180^\circ \rangle$.

| $\psi [^\circ]$ | $r [mm]$ | $(r - r_o) [mm]$ |
|-----------------|----------|------------------|
| 127,5 | 91,344 | 24,551 |
| 132,5 | 91,863 | 24,032 |
| 137,5 | 94,310 | 21,585 |
| 142,5 | 98,394 | 17,500 |
| 147,5 | 102,068 | 13,827 |
| 152,5 | 105,129 | 10,766 |
| 157,5 | 107,627 | 8,268 |
| 162,5 | 109,591 | 6,303 |
| 167,5 | 111,043 | 4,852 |
| 172,5 | 111,993 | 3,902 |
| 177,5 | 112,452 | 3,443 |

Tabulka 5

Závislost polárních souřadnic vačkypro $\varphi \in \langle 345^\circ, 360^\circ \rangle$

| $\varphi [^\circ]$ | $r [\text{mm}]$ | $(r - r_0) [\text{mm}]$ |
|--------------------|-----------------|-------------------------|
| 345,5 | 112,501 | 3,394 |
| 347,5 | 112,601 | 3,288 |
| 349,5 | 113,007 | 2,888 |
| 351,50 | 113,723 | 2,172 |
| 353,50 | 114,623 | 1,272 |
| 355,5 | 115,365 | 0,540 |
| 357,50 | 115,773 | 0,122 |
| 359,5 | 115,894 | 0,001 |

Tabulka 6

VII.2 Poznámka při konstrukci vahadla

Vahadlo je opatřeno kulisou, která umožňuje změnu ramene vahadla, čímž ovlivňujeme délku oblouku, kterou páka zpětného stahu vykonává.

VIII. Pohon dávkovače

Otačivý pohyb kotouče dávkovače je odvozen od hlavního hřídele stavu řemenovým převodem. Průměr řemenice na hlavním hřídeli je dán volným místem ve stavu. Potřebná délka útku závisí na pracovní šířce stavu. Proto je třeba zkonstruovat řemeničku na hřídeli dávkovače výměnou, abychom obsáhli rozsah pracovních šířek stavu. Průměr bubnu dávkovače je zvolen pevně. Proto různým šírkám vyráběné tkaniny bude odpovídat různý počet závitů útkové příze na bubnu dávkovače.

Jak jsme ukázali už dříve, bude skřipec při prohozu odtahovat větší část útku z bubnu dávkovače, zbývající část je odtahovaná přímo z cívky. Proto pro vytvoření zásoby útkové příze na bubnu dávkovače nelze využít dobu celé otáčky hlavního hřídele, ale jen část. V našem případě budeme přízi navíjet na buben dávkovače jen po dobu, odpovídající otáčení hlavního hřídele $\text{o}\tau = 330^\circ$. Těmito všemi hodnotami, tzn. průměrem bubnu dávkovače, pracovní šírkou stroje a hodnotou τ je dána velikost řemenového převodu. Průměr řemeničky, odpovídající konkrétní pracovní šířce stavu, pak vyplýne z převodu a průměru řemenice hlavního hřídele.

Nyní provedeme konkrétní výpočet na jednotlivé zadání pracovní šírky.

VIII. 1/ Pro pracovní šířku S = 165 cm

Volíme délku útku, která je odvíjena z dávkovače,
 $L = 155$ cm, a tedy 10 cm příze je odtahováno přímo z cívky.

Počet ovinů, které jsou na povrchu bubnu :

$$n = \frac{L}{\pi \cdot D_b}$$

Kde D_b je průměr bubnu dávkovače. Při konstrukci
 jsme měli $D_b = 80$ mm.

pak : $n = \frac{1550}{\pi \cdot 80} \doteq 6,15$.

Úhel navíjení :

$$\lambda = 360^\circ \cdot n$$

Řemenový převod :

$$i = \frac{\lambda}{\tau} = \frac{360^\circ}{330^\circ} \cdot n$$

Průměr řemeničky :

$$d = \frac{D}{i} = \frac{330^\circ}{360^\circ} \cdot \frac{D}{n}$$

Dosazením hodnot máme :

$$d = 0,915 \cdot \frac{170}{6,15} = 25,4 \text{ mm.}$$

Kde D je zvolený průměr řemenice, která je uložena
 na hlavním hřídeli:

$$D = 170 \text{ mm.}$$

| | | | |
|-----------------|---------------|---------|--------|
| VŠST Liberec | Dávkovač útku | Katedra | KTS |
| Fakulta strojní | | DP | str.55 |

VIII. 2/ Pro pracovní šířku S = 185 cm

Odvíjená délka L = 185 - 10 = 175 cm.

Počet ovinů :

$$n = \frac{L}{\pi \cdot D_b} = \frac{1750}{\pi \cdot 80} \doteq 7$$

Průměr řemeničky :

$$d = 0,915 \cdot \frac{D}{7} = 0,915 \cdot \frac{170}{7} \doteq 22,5 \text{ mm}$$

VIII. 3/ Pro pracovní šířku S = 230 cm

Odvíjená délka L = 230 - 10 = 220 cm.

Počet ovinů :

$$n = \frac{L}{\pi \cdot D_b} = \frac{2200}{\pi \cdot 80} \doteq 8,75$$

Průměr řemeničky :

$$d = 0,915 \cdot \frac{170}{8,75} \doteq 17,8 \text{ mm}$$

VIII. 4/ Pro pracovní šířku S = 330 cm

Odvíjená délka L = 330 - 10 = 320 cm.

Počet ovinů :

$$n = \frac{L}{\pi \cdot D_b} = \frac{3200}{\pi \cdot 80} \doteq 12,7$$

Průměr řemeničky :

$$d = 0,915 \cdot \frac{170}{12,7} = 12,5 \text{ mm}$$

Poznámka ke konstrukčnímu provedení řemenového převodu:

Uložení řemenic na hřídelích je nakresleno v přílohách 1a3

Použijeme plochého řemenu z umělé hmoty s textilní vložkou. Napínání řemenu je provedeno napínací kladkou. Jí se také vyrovnávají rozdíly potřebné délky řemenu při použití různých průměrů řemeniček.

Celkové uspořádání převodu je zakresleno v přílohách

Výpočet byl proveden pro dané šíře stavů pouze pro 1 průměr řemenice, a to vždy pro maximální šíři příslušného typu. Pracovní šíře každého typu stavu se však může měnit. Proto každý typ stavu bude opatřen sadou řemeniček pro přesnější nastavení dávkování útku v celém rozsahu od minimální šíře do maximální šíře.

IX. Vyhodnocení dávkovače útku a páky zpětného stahu z ekonomického hlediska

Dávkovač útku umožňuje využít téměř celý pracovní cyklus stavu k přípravě potřebné délky útkové příze, kterou skřipec odtahuje při prohozu. U bezčlunkových tkalcovských stavů bez dávkovače je příze při prohozu odtahovaná přímo z cívky. Doba k odvinutí potřebné délky útkové příze je v tomto případě značně kratší, než je pracovní cyklus stroje. K odvinutí musí dojít velmi rychle a v odtahané přízi vznikají napěťové razy. Tím se vytvoří nepříznivé podmínky pro přízi a může snadno dojít k jejímu přetržení. Tomu zabrání dávkovač útku, protože odvíjení z cívky probíhá pomaleji a rovnoměrně. K přetržení útku dochází u stavu vybaveného dávkovačem méně často, a tím se zlepší kvalita vyráběné tkaniny.

To není ale jediná výhoda, kterou přináší dávkovač. Zmenšením počtu přetrhů se zkrátí doba potřebná k navazování útku a to přispívá ke zvýšení produktivity práce tkalcovského stavu vybaveného dávkovačem.

Další výhoda, kterou dávkovač útku poskytuje, spočívá v tom, že je možno vyřadit napařování útkové křížové cívky, neboť odtah příze z ní je plynulý a nedochází k tvoření smyček, tedy možných zdrojů přetržení nebo chyb ve tkanině. Odstranění nákladu za napařování je též ekonomickým přínosem.

Páka zpětného stahu má za úkol napínat útek v době

| | | | |
|------------------------|----------------------|----------------|------------|
| VŠST Liberec | Dávkovač útku | Katedra | KTS |
| Fakulta strojní | | DP | str. 58 |

přiřazení a také při otáčení skřipce.

Vracením skřipce zpět k okraji tkaniny zamezíme ztrátě, která vzniká nevyužitím útkové příze zbylé na okraji tkaniny po uvolnění útku ze skřipce. To znamená, že nám páka zpětného stahu šetří útkovou přízi a nevzniká nebezpečí zatkání delších zbytků do okraje tkaniny.

Zlepšuje se tím kvalita výrobků.

Přesné ekonomické vyhodnocení nelze provést, protože dávkovač útku je určen převážně pro tkání útku, který by bez dávkovače v mnohých případech nebylo možno zpracovávat.

| | | | |
|-----------------|---------------|---------|--------|
| VŠST Liberec | Dávkovač útku | Katedra | KTS |
| Fakulta strojní | | DP | str.59 |

X. Z Á V Ě R

Je vidět, že se jedná o poměrně jednoduché zařízení. Namáhání součástí není velké, a to je důvod, proč nebyl prováděn pevnostní výpočet jednotlivých prvků.

Odborník jistě najde v této práci řadu nedostatků. Tyto nedostatky nejsou snad způsobeny nezodpovědným přístupem autora, ale spíše jeho nezkušeností. Je to vlastně první větší samostatná práce, kterou prováděl. Při práci mi pomáhal vedoucí diplomové práce Ing Jiří Libánský, VÚTS, Liberec. Proto mu chci touto cestou srdečně poděkovat.

Zvlášt velkou pomoc mi poskytl konzultant Ing Zdeněk Rambousek, VÚTS, Liberec. Jemu patří největší dík.

Také bych chtěl poděkovat pracovníkům v dílenské laboratoři VÚTS a pracovníkům v n. p. Textilana Liberec - Františkov, kteří mě ochotně dovolili některé nezbytné prohlídky strojů.

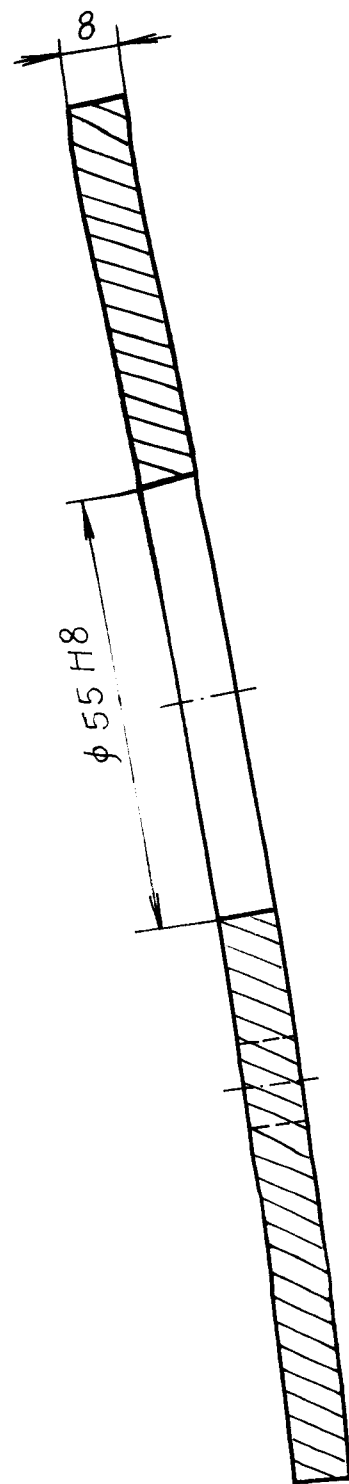
S E Z N A M P R Í L O H

1. Celkové uspořádání navrhovaného dávkovače útku
2. Konstrukce ovládání páky zpětného stahu
3. Řemenový převod pro pohon dávkovače
4. Detail vačky
5. Hřídel dávkovače
6. Buben dávkovače

L I T E R A T U R A

1. Doc. Tálavašek CSc: Konstrukce a výpočty tkacích stavů
2. Doc. Ing. Jaroslav Charvát CSc: Kinematika vačky s kruhovými oblouky
3. Bílek I.: Problemy přípravy útku u tryskových tkacích stavů
4. Horn V.: Současný stav a úroveň zařízení pro odměrování a dávkování útku na tkacích strojích
5. Petrů K.: Optimalizace dynamických vlastností vačkových mechanizmů, strojírenství 21, 1971 č. 11, 656 - 662
6. Doc. Ing. Jaroslav Charvát: Teorie mechanismů
7. Doc. Tálavašek CSc: Automatické tkalcovské stavby SNTL Praha 1972
8. Bronštejn I. N., Semendajev K. A.: Příručka matematiky SVTL Bratislava 1963

~ 32 (✓)



ε3

2 VACKA ČSN425310 11500

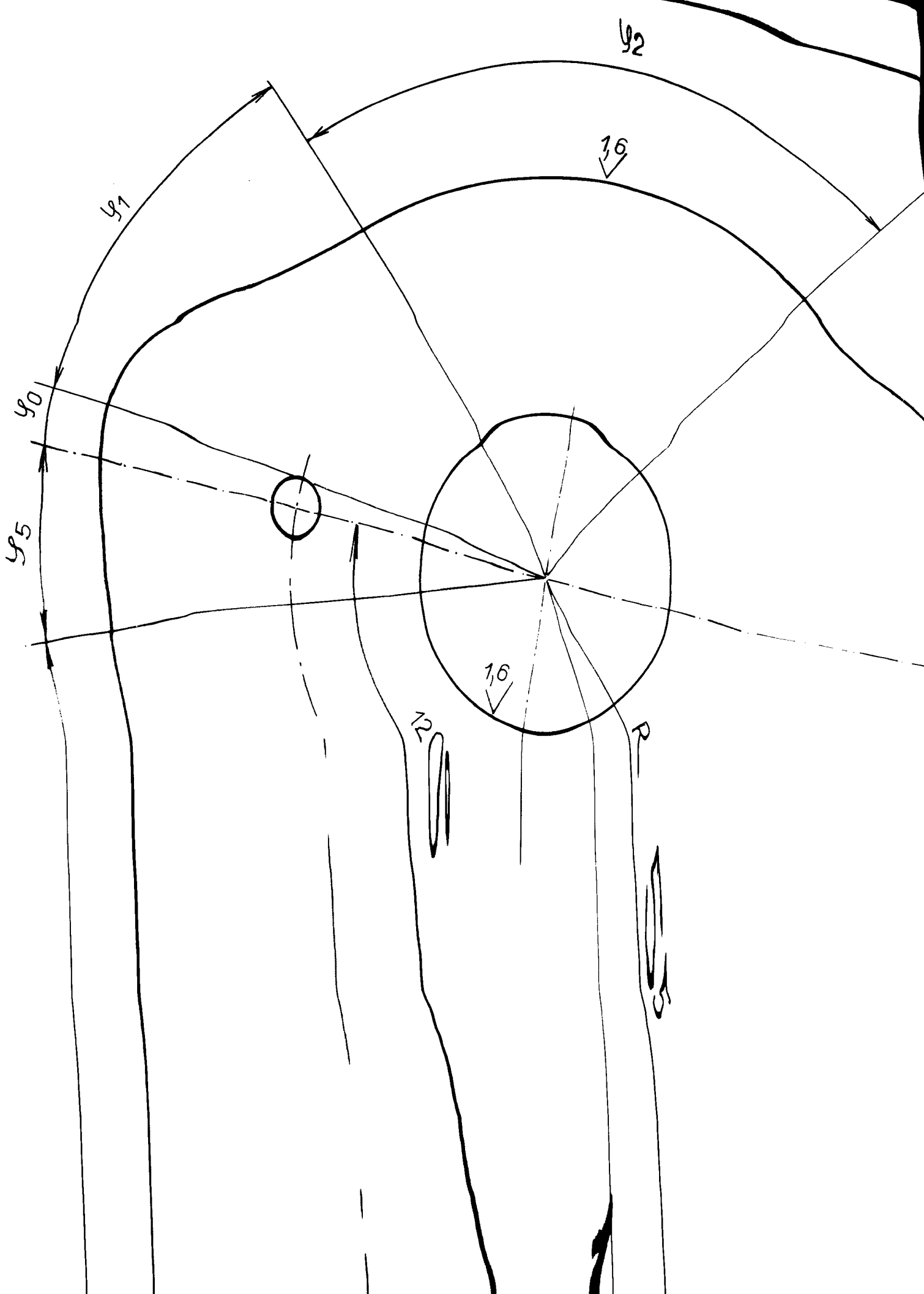
n. k. 2m

1:1

VČST

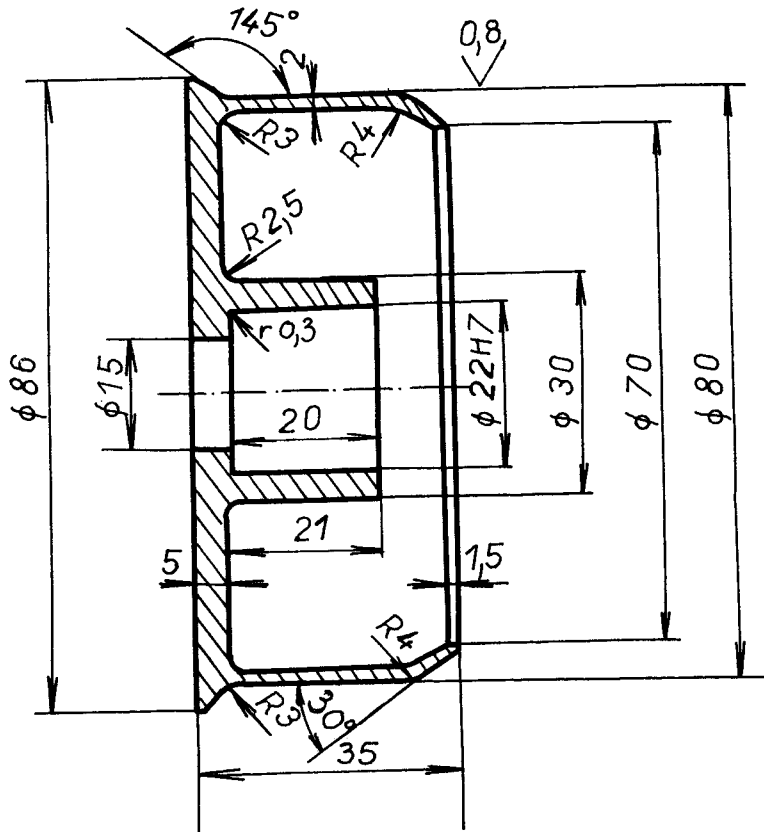
Sčet 11603

20020016



PŘÍLOHA 5

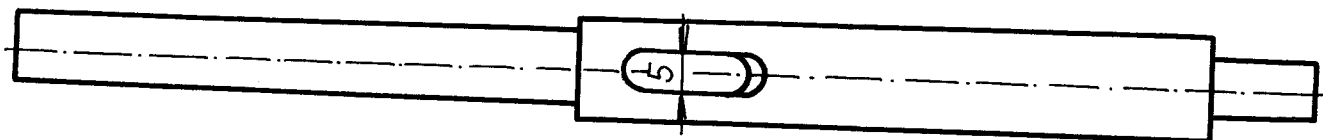
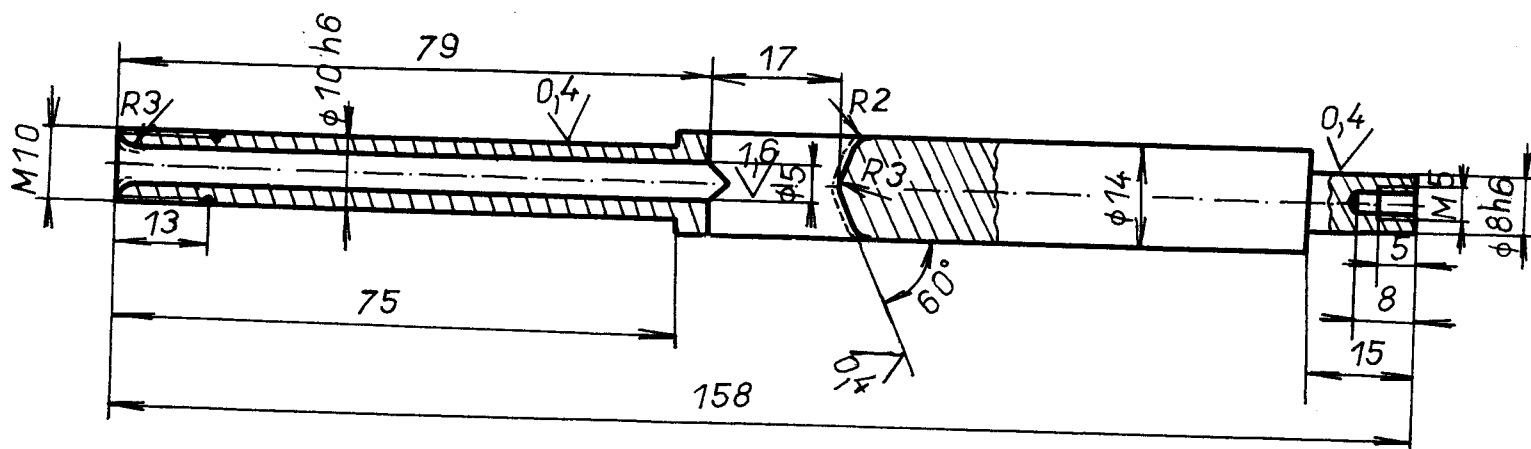
$\sim \sqrt{32} (0,8)$



| | | | | | | |
|----------------|----------------------------|-----------------|--------------|---------------|------------|-----------|
| 2 | BUBEN | ČSN425510 11500 | 1 | | | 44 |
| Název - Rozměr | Početová | Mat. konečný | Mat. výchozí | Cis. sním. | C. výkresu | Hrv. ins. |
| Poznámka | Celková sítíkání z výkresu | | | | | |
| Měřítko | Kreslil n. k. druh | Cis. sním. | | | | |
| 1:1 | Přepracoval | | | | | |
| Norm. ref. | Schvádl | C. transp. | | | | |
| Výr. projednat | Dne | Z | | | | |
| VŠST | Ryc | Skupina | Starý výkres | Nový výkres | | |
| LIBEREC | Název | | | | | |
| | | BUBEN | | 4-DP-01.00.44 | | |
| | | | Počet listů | | | List |

PŘÍLOHA 6

$\sim \checkmark (\checkmark, \checkmark)$



---- LEŠTĚNO

| | | | | | | | | | |
|----------|---------------------------|------------------|--------------|--------------|-------------|-----------|--------------|---------------|------|
| 2 | HŘÍDEL | ČSN 425510 11500 | 1 | 30 | | | | | |
| Autor | Název - Rozměr | Rez. ročník | Mat. konečný | Mat. výchoz. | Dat. výroby | C. výroby | Druh | Číslo výkresu | Pos. |
| Poznámka | Celková délka v mm je 158 | | | | | | | | |
| Měřítko | Kresl. N. k. Zamy | | Cís. sním. | Změna | Datum | Podpis | Index zámeny | | |
| 1:1 | Prezrvátor | | | | | | | | |
| | Norm. ref. | | | | | | | | |
| | Výr. projekční | Schvábil | Č. transp. | Změna | Datum | Podpis | Index zámeny | | |
| | | Dne | | | | | | | |
| VSST | | Pro | Skupina | Starý výkres | Nový výkres | | | | |
| Název | | | | | | | | | |
| LIBEREC | | HŘÍDEL | | 4-DP-0100-30 | | | | Počet listů | |
| | | | | | | | | list | |

| | | | | | | | | | |
|---|-------------------|------------|--------|--|-----|--|--|--|----|
| | Rám stroje | | | | | | | | 1 |
| | Hlavní hřídel | | | | | | | | 2 |
| | Rám stroje | | | | | | | | 3 |
| 2 | Řemenice o 170 | Odlitek | 422415 | | k04 | | | | 4 |
| 2 | Vidlička 3 | čsn 425301 | 11343 | | 1 | | | | 5 |
| 2 | Páka 1,5 | ČSN 425301 | 11343 | | 1 | | | | 6 |
| 2 | Podložka 10x65x15 | ČSN 425310 | 11343 | | 1 | | | | 7 |
| 2 | Opěra 2 | ČSN 425301 | 11343 | | 1 | | | | 8 |
| 2 | Klapka 100x25 | ČSN 425301 | 11343 | | 1 | | | | 9 |
| 2 | Podložka 2,5 | ČSN 425301 | 11343 | | 1 | | | | 10 |
| 2 | Stojan klapky | ČSN 425301 | 11343 | | 1 | | | | 11 |
| 2 | Páka klapky | ČSN 425301 | 11343 | | 1 | | | | 12 |
| 4 | Vahadlo 5 | ČSN 425310 | 11343 | | 1 | | | | 13 |
| 2 | Rameno vahadlo 5 | ČSN 425310 | 11343 | | 1 | | | | 14 |
| 2 | Úpinka 5 | ČSN 425310 | 11343 | | 1 | | | | 15 |
| 2 | Váčka 8 | ČSN 425310 | 11500 | | 1 | | | | 16 |
| 2 | Podložka 5 | ČSN 425310 | 11343 | | 1 | | | | 17 |
| 2 | Izolátor 5 | | | | | | | | 18 |
| 2 | Držák čidla 3 | ČSN 425510 | 11343 | | 1 | | | | 19 |
| 2 | Záváží | ČSN 425522 | 11343 | | 1 | | | | 20 |
| 2 | Hřídel φ 32x56 | ČSN 425510 | 11343 | | 1 | | | | 21 |
| 2 | Hřídel φ 20x25 | ČSN 425510 | 11343 | | 1 | | | | 22 |
| 2 | Kroužek φ 22x15 | ČSN 425510 | 11343 | | 1 | | | | 23 |
| 2 | Ram dávkovače | ČSN 425522 | 11343 | | 1 | | | | 24 |
| 2 | Držák 125x25x20 | ČSN 425522 | 11343 | | 1 | | | | 25 |
| 2 | Kladička φ 30x25 | ČSN 425510 | 11343 | | 1 | | | | 26 |
| 2 | Řemenička | ČSN 425510 | 11343 | | 1 | | | | 27 |
| | | | | | | | | | |

Počet kusů Mínov - Rozměr Délkový Mín. konečný Mín. v kusů Počet kusů Počet kusů

Konečná

| | | | | | | | | |
|-----------------|-----------------|--|-----------|--|-------|--|-------|--|
| Měřítko | Krošti n.k. 2my | | Cis. sna. | | Délka | | Počet | |
| Přes. mítaj | | | | | | | | |
| Norm. mít | | | | | | | | |
| Vpr. zpr. mítaj | | | | | | | | |

VSST

Skladem

Starý výrobek

LIBEREC

KUSOVNÍK

DP. 0.01

Počet listů

List

| | | | | | | | | | | |
|---|------------------------------------|------------|---------|---------|---|--|--|--|--|----|
| 2 | Kryt ϕ 35x4 | ČSN 425510 | 11343 | | 1 | | | | | 28 |
| 2 | Kryt ϕ 20x6 | ČSN 425510 | 11343 | | 1 | | | | | 29 |
| 2 | Hřídel dávkovače | ČSN 425510 | 11500 | | 1 | | | | | 30 |
| 2 | Hřídel páky 10x18 | ČSN 425510 | 11343 | | 1 | | | | | 31 |
| 2 | Příchytká 8x25x55 | ČSN 425222 | 11343 | | 1 | | | | | 32 |
| 2 | Zvedatko ϕ 22x10 | ČSN 425510 | 11343 | | 1 | | | | | 33 |
| 2 | Ovorník ϕ 10x35 | ČSN 425510 | 11343 | | 1 | | | | | 34 |
| 2 | Podložka 30x250x65 | ČSN 425522 | 11343 | | 1 | | | | | 35 |
| 2 | Opěra 5x12x25 | ČSN 425522 | 11343 | | 1 | | | | | 36 |
| 2 | Držák 12x25x30 | ČSN 425522 | 11343 | | 1 | | | | | 37 |
| 2 | Stavěcí kroužek 14 | ČSN 425510 | 11343 | | 1 | | | | | 38 |
| 4 | Stavěcí kroužek $\frac{1}{2}$ 16x8 | ČSN 425510 | 11343 | | 1 | | | | | 39 |
| 2 | Držák 10x25x30 | ČSN 425522 | 11343 | | 1 | | | | | 40 |
| 2 | Páka 10 | ČSN 425522 | 11343 | | 1 | | | | | 41 |
| 2 | Stojan vahadla | ČSN 425522 | 11343 | | 1 | | | | | 42 |
| 2 | Cep ϕ 12x60 | ČSN 425510 | 11343 | | 1 | | | | | 43 |
| 2 | Buben ϕ 80x35 | ČSN 425510 | 11500 | | 1 | | | | | 44 |
| 2 | Konzola 12x25 | ČSN 425522 | 11343 | | 1 | | | | | 45 |
| 2 | Pružina ϕ 1,5x1000 | ČSN 426403 | 11700.4 | 11700.1 | 1 | | | | | 46 |
| 2 | Pružina ϕ 1,0x220 | ČSN 426403 | 11700.4 | 11700.1 | 1 | | | | | 47 |
| 2 | Pružina ϕ 1x450 | ČSN 426403 | 11700.4 | 11700.1 | 1 | | | | | 48 |
| 2 | Pružina ϕ 3x 300 | ČSN 426403 | 11700.4 | 11700.1 | 1 | | | | | 49 |
| 2 | Trubka ϕ 16x18 | ČSN 425715 | 11343 | | 1 | | | | | 50 |
| 2 | Trubka ϕ 30x 18 | ČSN 425715 | 11343 | | 1 | | | | | 51 |
| 2 | Trubka ϕ 40x 40 | ČSN 425715 | 11343 | | 1 | | | | | 52 |
| 2 | Kryt ϕ 22 | ČSN 642001 | 64425 | | | | | | | 53 |
| 2 | Řemen | | | | | | | | | 54 |
| 4 | Očko ϕ 10x 15 | ČSN 425510 | 11343 | | 1 | | | | | 55 |

| Počet | Název - Rozměr | Pohybovat | Mat. konečný | Mat. východí | Pos. | Č. výhř. | Pl. výhř. | Číslo výkresu | Pos. |
|-------|----------------|-----------|--------------|--------------|------|----------|-----------|---------------|------|
|-------|----------------|-----------|--------------|--------------|------|----------|-----------|---------------|------|

| | | | | | | | | | |
|----------|--|--|--|--|--|--|--|--|--|
| Poznámka | | | | | | | | | |
|----------|--|--|--|--|--|--|--|--|--|

| | | | | | | | | | |
|---------------|----------------|--|-------------|--|--|--|--|--|--|
| Měřítko | Kresba N.K.QUY | | Cíls. sním. | | | | | | |
| Přeskovatel | | | | | | | | | |
| Norm. ref. | | | | | | | | | |
| Vtr. projekce | Schéma | | C. transp. | | | | | | |
| | Dne | | | | | | | | |

| | | | | |
|---------|----------|---------|--------------|-------------|
| VSST | No | Skusíno | Starý výkres | Nový výkres |
| | Název | | | |
| LIBEREC | KUSOVNÍK | | DP.0.01 | |

| | | | | | | | | | |
|----|---------------------|------------|-------------|--|---|--|--|--|----|
| 2 | Očko ϕ 8 | ČSN 425310 | 11343 | | 1 | | | | 56 |
| 2 | Čidlo $\phi 1$ xl20 | ČSN 426403 | 11500 | | 1 | | | | 57 |
| 2 | Kotouč ϕ 106 | ČSN 64201 | 64 200.3 08 | | | | | | 58 |
| 2 | Kroužek ϕ 86 | | | | | | | | 59 |
| | | | | | | | | | 60 |
| | | | | | | | | | 61 |
| | | | | | | | | | 62 |
| 12 | Šroub M5 x 5 | ČSN 021185 | | | | | | | 63 |
| 2 | Šroub M5x 7 | ČSN 021103 | | | | | | | 64 |
| 4 | Šroub M4x 8 | ČSN 021131 | | | | | | | 65 |
| 12 | Šroub M6x 15 | ČSN 021103 | | | | | | | 66 |
| 2 | Šroub M5x 10 | ČSN 021131 | | | | | | | 67 |
| 12 | Šroub M8x 60 | ČSN 021101 | | | | | | | 68 |
| 4 | Šroub M10x 35 | ČSN 021101 | | | | | | | 69 |
| 2 | Šroub M10x 45 | ČSN 021101 | | | | | | | 70 |
| 2 | Šroub M12x 60 | ČSN 021101 | | | | | | | 71 |
| 2 | Šroub M12x 65 | ČSN 021101 | | | | | | | 72 |
| 4 | Šroub M10x 40 | ČSN 021101 | | | | | | | 73 |
| 12 | POdložka 6,1 | ČSN 021740 | | | | | | | 74 |
| 10 | Podložka 10,2 | ČSN 021740 | | | | | | | 75 |
| 4 | Podložka 12,2 | ČSN 021740 | | | | | | | 76 |
| 2 | Matice M6 | ČSN 021401 | | | | | | | 77 |
| 6 | Matice M10 | ČSN 021401 | | | | | | | 78 |
| 2 | Matice M12 | ČSN 021401 | | | | | | | 79 |
| 2 | Matice M12 | ČSN 021403 | | | | | | | 80 |
| 2 | Čep 5 x28 | ČSN 022102 | | | | | | | 81 |
| 2 | Kroužek 8 | ČSN 022930 | | | | | | | 82 |
| 2 | Kroužek 22 | ČSN 022931 | | | | | | | 83 |

N.K.QUY

V'SST

LIBEREC

KUSOVNÍK

DP.001

